

# Statički proračun stambene zgrade

---

Pavić, Duje

Undergraduate thesis / Završni rad

2018

*Degree Grantor / Ustanova koja je dodijelila akademski / stručni stupanj:*

**University of Split, Faculty of Civil Engineering, Architecture and Geodesy / Sveučilište u Splitu, Fakultet građevinarstva, arhitekture i geodezije**

*Permanent link / Trajna poveznica:* <https://um.nsk.hr/um:nbn:hr:123:684620>

*Rights / Prava:* [In copyright](#)/[Zaštićeno autorskim pravom.](#)

*Download date / Datum preuzimanja:* **2024-11-24**



*Repository / Repozitorij:*

[FCEAG Repository - Repository of the Faculty of Civil Engineering, Architecture and Geodesy, University of Split](#)



UNIVERSITY OF SPLIT



DIGITALNI AKADEMSKI ARHIVI I REPOZITORIJI

**SVEUČILIŠTE U SPLITU  
FAKULTET GRAĐEVINARSTVA, ARHITEKTURE I GEODEZIJE**

# **ZAVRŠNI RAD**

**Duje Pavić**

**Split, 2018**

**SVEUČILIŠTE U SPLITU**  
**FAKULTET GRAĐEVINARSTVA, ARHITEKTURE I GEODEZIJE**

## **Statički proračun stambene zgrade**

**Završni rad**

**Split, 2018**

# Statički proračun stambene zgrade

## Sažetak:

U radu je prikazan statički proračun stambene zgrade. Građevina se sastoji od prizemlja, tri etaže i ravnog krova. Nosiva konstrukcija građevine izvedena je od armiranog betona. Projekt sadrži: tehnički opis, proračun nosivih konstrukcijskih elemenata, karakteristične građevinske nacрте i armaturne planove.

## Ključne riječi:

Stambena zgrada, Statički proračun

# Static calculation of apartment building

## Abstract:

The static design of apartment building is presented in this work. The building consist of three stories, ground floor and flat roof. Structure of building is made od reinforced concrete. The work include tehcnical description of the structure, calcuation of the main structural elemenets as well as characteristic structural plans and reinforcement plans.

## Keywords:

Apartment building, Static calculation

**SVEUČILIŠTE U SPLITU  
FAKULTET GRAĐEVINARSTVA, ARHITEKTURE I GEODEZIJE**

Split, Matice hrvatske 15

STUDIJ: **PREDDIPLOMSKI SVEUČILIŠNI STUDIJ  
GRAĐEVINARSTVA**

KANDIDAT: **Duje Pavić**

BROJ INDEKSA: **4346**

KATEDRA: **Katedra za teoriju konstrukcija**

PREDMET: **Građevna statika 2**

**ZADATAK ZA ZAVRŠNI RAD**

Tema: Statički proračun stambene zgrade

Opis zadatka: Na temelju zadane tlocrtne podloge, potrebno je izraditi 3-D proračunski model građevine u programu "SciaEngineer". Na temelju dobivenih rezultata proračunavaju se određeni nosivi elementi zgrade, te za proračunate elemente potrebno je napraviti armaturne planove.

Izrađeni projekt mora sadržavati:

- tehnički opis
- proračun
- građevne nacрте

U Splitu, srpanj 2018

Voditelj Završnog rada:

Doc. dr. sc. Ivan Balić

# SADRŽAJ

1. TEHNIČKI OPIS .....	3
1.1 Opis i konstrukcijski sustav građevine.....	3
1.2 Geotehnički izvještaj.....	3
2. ARHITEKTONSKI NACRTI ZGRADE.....	4
3. 3-D PRORAČUNSKI MODEL GRAĐEVINE.....	5
4. ANALIZA OPTEREĆENJA.....	6
4.1 Vlastita težina elemenata konstrukcije (G0).....	6
4.2 Etaže-ploče.....	6
4.2.1 Stalno djelovanje (G1).....	6
4.2.2 Promjenjivo djelovanje (Q).....	7
4.3 Etaže-balokoni.....	8
4.3.1 Stalno djelovanje (G1).....	8
4.3.2 Promjenjivo djelovanje (Q).....	9
4.4 Krov.....	9
4.4.1 Stalno djelovanje (G1).....	9
4.4.2 Promjenjivo djelovanje (Q).....	10
4.5 Stubište.....	10
4.5.1 Stalno djelovanje (G1).....	10
4.5.2 Promjenjivo djelovanje (Q).....	11
5. PRIKAZ OSNOVNIH DJELOVANJA.....	12
5.1 Međukatna ploča.....	12
5.2 Krovna ploča.....	13
5.3 Stubište.....	14
6. KOMBINACIJE DJELOVANJA.....	15
7. PRORAČUN MEĐUKATNE PLOČE.....	16
7.1 Prikaz modela 1. i rezultata proračuna.....	17
7.2 Prikaz modela 2. i rezultata proračuna.....	21
7.2.1 Dimenzioniranje ploče na moment savijanja.....	27
7.2.2 Kontrola progiba međukatne ploče.....	29
8. PRORAČUN KROVNE PLOČE.....	30
8.1 Prikaz modela i rezultata.....	30
8.1.1 Dimenzioniranje na moment savijanja.....	36
8.2 Kontrola progiba i pukotina krovne ploče.....	37
8.2.1 Kontrola progiba.....	37
8.2.2 Kontrola pukotina.....	38
9. PRORAČUN GREDA.....	41
9.1 Međukatna greda.....	41
9.1.1 Prikaz rezultata proračuna.....	41

9.1.2 Dimenzioniranje ploče na moment savijanja.....	42
9.1.3 Dimenzioniranje na poprečnu silu.....	44
9.1.4 Kontrola progiba.....	46
9.2 Krovna greda.....	47
9.2.1 Prikaz rezultata proračuna.....	47
9.2.2 Kontrola progiba.....	48
9.2.3 Kontrola pukotina.....	49
10. PRORAČUN STUPOVA.....	51
11. PRORAČUN TEMELJA.....	53
12. GRAFIČKI PRILOZI.....	54
13. LITERATURA.....	55

# 1. TEHNIČKI OPIS

## 1.1 Opis i konstrukcijski sustav građevine

Građevina je stambene namjene, a sastoji se od prizemlja i tri kata.

Glavni nosivi konstrukcijski sustav sastoji od armirano betonskih (AB) zidova i stupova te međukatnih konstrukcija koje su izrađene od armiranog betona, lijevane na licu mjesta debljine  $d=16$  cm. Stubišta su također izvedena u armiranom betonu debljine 16 cm. Krovna ploča je debljine 16 cm i izvedena je od armiranog betona.

Vertikalna nosiva konstrukcija građevine su unutarnji i vanjski zidovi debljine 20 cm. Temeljenje je predviđeno na trakastim temeljima od armiranog betona ispod nosivih zidova i stupova širine 70 cm.

U proračunu su dane osnovne dimenzije armature za pojedine konstruktivne elemente.

Elementi koji se ne proračunavaju armiraju se konstruktivno.

Građevina se nalazi u području za koje se uz povratni period od 475 godina očekuje potres sa ubrzanjem tla od  $a_g=0.2g$ . Konstrukcija seizmičke sile preuzima sustavom armirano betonskih zidova sukladno prema EC-8.

Za sve betonske radove predviđen je beton C 25/30, te armatura B 500. Skidanje podupirača za ploče može se izvršiti nakon postignute min. 80% čvrstoće.

Za temelje upotrebljena je ista klasa betona C 25/30.

Svi računalni proračuni su izvršeni u programu "SciaEngineer". Svi ostali podaci i detalji relevantni za objekt dani su kroz projektna rješenja.

## 1.2 Geotehnički izvještaj

Matična stijena nalazi se na oko 90 cm od površine terena, temeljenje građevine izvest će se na njoj. Nakon iskopa temeljnu plohu potrebno je ručno očistiti od ostataka razlomljenog materijala. Nakon obavljenog čišćenja temeljne plohe potrebno je neravnine i udubine popuniti i izravnati podložim betonom C 16/20 do projektirane kote temeljenja.

Ukoliko se naiđe na kavernu veće dubine i manje širine, a nije moguće potpuno uklanjanje materijala, sanaciju izvesti tako da se materijal ukloni do dubine 50 cm ispod kote temeljenja, a nastali prostor do projektirane kote zapuni podbetonom.

Dopuštena centrična naprezanja tla na detaljno očišćenim naslagama matične stijene uzeta su za osnovna opterećenja 500 kPa.

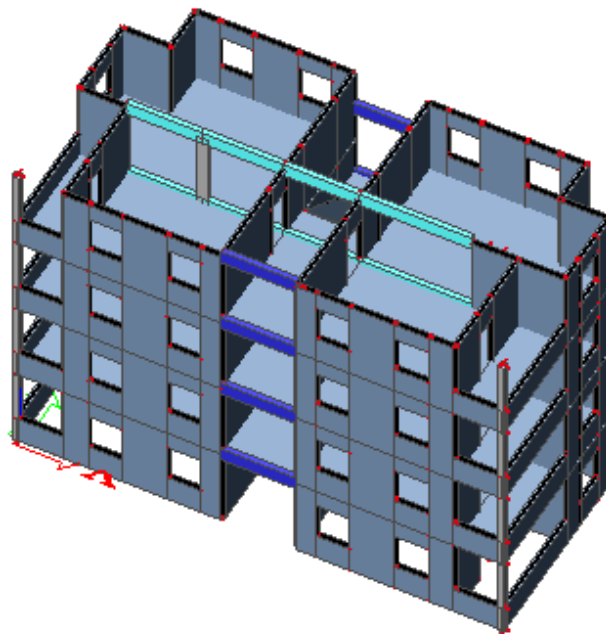


## **2. ARHITEKTONSKI NACRTI ZGRADE**

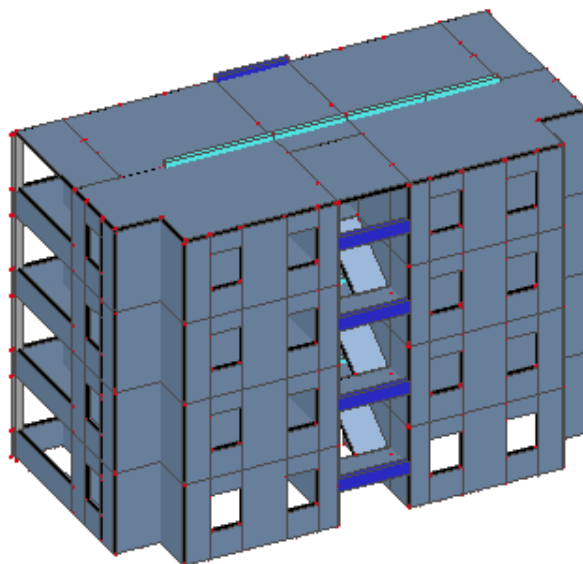
Na temelju arhitektonskih nacrtu u koje spada tlocrt karakteristične etaže i dva presjeka, napravljen je 3-D proračunski model u programu "SciaEngineer" na kojem će biti izvršene sve analize vezane uz statički proračun građevine. Arhitektonski nacrti zgrade priloženi su u grafičkim priložima.

### 3. 3-D PRORAČUNSKI MODEL GRAĐEVINE

Prikazan je proračunski model armirano betonske konstrukcije.



*Slika 3.1 Proračunski model ab konstrukcije – pogled 1*



*Slika 3.2 Proračunski model ab konstrukcije – pogled 2*

## 4. ANALIZA OPTEREĆENJA

### Podaci o osnovnim djelovanjima

Osnovna opterećenja, na čiji utjecaj se dokazuje mehanička otpornost i stabilnost predmetne građevine, podijeljena su:

Oznaka osnovnog djelovanja	Opis djelovanja
<b>G0</b>	Stalno djelovanje - vlastita težina elemenata nosive konstrukcije.
<b>G1</b>	Stalno djelovanje - ostalo stalno djelovanje: pokrov, obloga (podovi, žbuke), stalna oprema itd., zidni paneli.
<b>Qi</b>	Promjenjivo - uporabno djelovanje: uporabno opterećenje, pokretna oprema.
<b>W</b>	Vjetar.
<b>S</b>	Snijeg.

Tablica 4.1 Podaci o osnovnim djelovanjima

### 4.1 Vlastita težina elemenata konstrukcije (G0)

Stalno opterećenje uključeno je u proračun prema slijedećem:

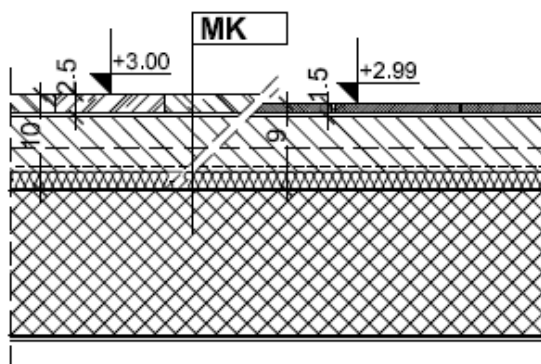
- Specifična težina armiranog betona iznosi  $g=25.0 \text{ kN/m}^3$ .
- Stalno opterećenje od vlastite težine elemenata armirano betonske konstrukcije sadržano je u proračunskom modelu, sukladno dimenzijama poprečnih presjeka i zadanoj specifičnoj težini.

### 4.2 Etaže-ploče

#### 4.2.1 Stalno djelovanje (G1)

Debljina ploče

$d=16 \text{ cm}$



Slika 4.1 Grafički prikaz slojeva međukatne konstrukcije stanbenog prostora

	d(m)	$\gamma(\text{kN/m}^3)$	$d*\gamma(\text{kN/m}^2)$
Parket ili kermičke pločice	0.025	9.6	0.24
Lagano armirani cementni namaz	0.055	22.0	1.21
PE folija	-	-	-
EPS termoizolacija	0.002	0.12	0.00024
Zaglađeni podgled stropa	0.005	15.0	0.075
dodatno stalno opterećenje	-	-	0.75

Tablica 4.2 Opterećenje na pločama

Ukupno stalno opterećenje  $g = 2.3 \text{ kN/m}^2$

Napomena: u dodatno stalno opterećenje spadaju instalacije, ostali stalni teret.

Napomena: Opterećenje od slojeva poda ne uključuju vlastitu težinu AB ploče.

#### 4.2.2 Promjenjivo djelovanje (Q)

Stupac	1		2	3	4	5
Redak	Kategorija		Namjena	Primjer	$q_k$ [kN/m <sup>2</sup> ]	$Q_k$ <sup>3</sup> [kN]
1	A	A1	Nestambena potkrovlja	Neprikladna za stanovanje no pristupačna potkrovlja do 1,8 m svijetle visine	1,5	1
2		A2	Prostori za stanovanje i kućanske djelatnosti	Stropovi sa zadovoljavajućom poprečnom raspodjelom opterećenja <sup>b</sup> u stambenim zgradama i kućama, sobama s krevetima, bolnicama (spavaonicama), sobama u hotelima i prenočištima i pripadajuće kuhinje i kupaonice	1,5	-
3		A3		A2, ali bez zadovoljavajuće poprečne raspodjele opterećenja	2,0 <sup>c</sup>	1

Tablica 4.3 Uporabna opterećenja stropova

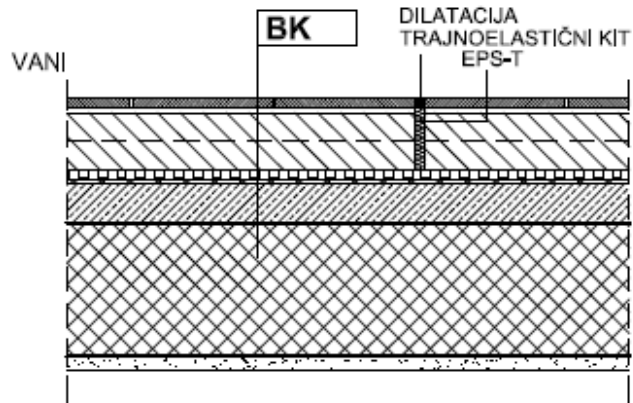
Iz tablice za uporabna opterećenja odabire se vrijednost promjenjivog djelovanja.

$$q = 1.5 \text{ kN/m}^2$$

### 4.3 Etaže-balkoni

#### 4.3.1 Stalno djelovanje (G1)

Debljina ploče  
d=16 cm



Slika 4.2 Grafički prikaz slojeva međukatne konstrukcije balkona

	d(m)	$\gamma(\text{kN/m}^3)$	$d*\gamma(\text{kN/m}^2)$
kermičke pločice u građevinskom ljepilu	0.015	18.0	0.27
Lagano armirani cementni namaz	0.05	22.0	1.1
Drenažna traka s čepićima prema dolje (PEHD)	-	-	-
hidroizolacija	0.01	10.0	0.1
Zaglađeni cementni estrih	0.025	24.0	0.6
Završna fasadna žbuka	0.015	15.0	0.225

Tablica 4.4 Opterećenje na balkonima

Ukupno stalno opterećenje  $g = 2.3 \text{ kN/m}^2$

Napomena: Opterećenje od slojeva poda ne uključuju vlastitu težinu AB ploče.

### 4.3.2 Promjenjivo djelovanje (Q)

19	S <sup>a</sup>	S1	Stubišta i stubišni podesti	Stubišta i stubišni podesti u stambenim i uredskim zgradama i ambulancama, bez teške opreme	3	2
20		S2		Sva stubišta i stubišni podesti koji se ne mogu razvrstati u S1 ili S3	5	2
21		S3		Pristupi i stubišta koji vode do tribina bez nepomičnih sjedala, a služe kao izlazi za nuždu	7,5	3
22	P <sup>a</sup>		Pristupi, balkoni i sl.	Krovne terase, trijemovi, lođe, balkoni, izlazni podesti	4	2

Tablica 4.5 Uporabna opterećenja balkona

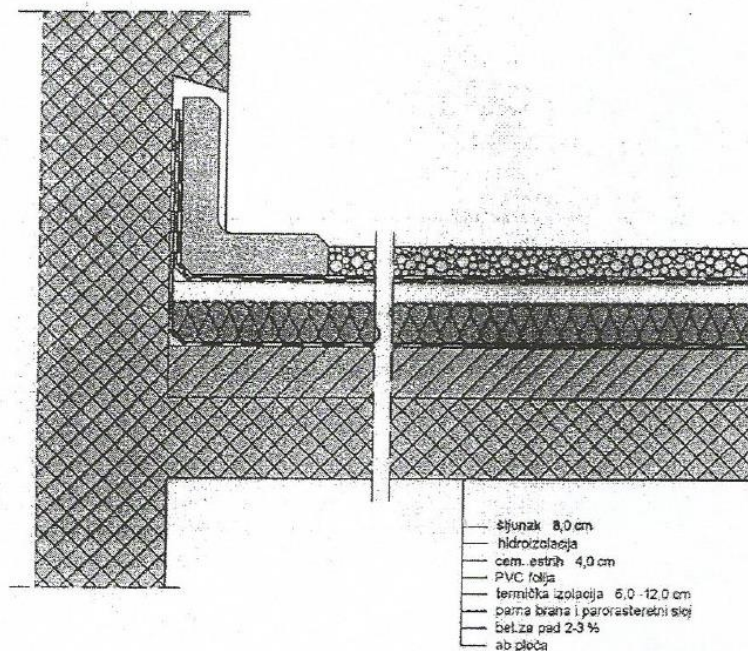
Iz tablice za uporabna opterećenja odabire se vrijednost promjenjivog djelovanja.

$$q=4.0 \text{ kN/m}^2$$

## 4.4 Krov

### 4.4.1 Stalno djelovanje (G1)

Debljina ploče  
d=16 cm



Slika 4.3 Grafički prikaz slojeva konstrukcije neprohodnog ravnog krova

	<b>d(m)</b>	<b><math>\gamma(\text{kN/m}^3)</math></b>	<b><math>d*\gamma(\text{kN/m}^2)</math></b>
Šljunak	0.08	18.0	1.44
Hidroizolacija	0.003	10.0	0.03
Lagano armirani cementni estrih	0.04	22.0	0.88
Termoizolacija	0.06	0.2	0.012
Parna brana	-	-	-
Beton za pad	0.07	23.0	1.61

*Tablica 4.6 Opterećenje na krovnu ploču*

Ukupno stalno opterećenje  $g= 4.0 \text{ kN/m}^2$

Napomena: Opterećenje od slojeva poda ne uključuju vlastitu težinu AB ploče.

#### 4.4.2 Promjenjivo djelovanje (Q)

Krov		$q_k^s$ [kN/m <sup>2</sup> ]	$Q_k$ [kN]
Kategorija H	nagib krova $\leq 20^\circ$	0,6	1,0
	nagib krova $\geq 40^\circ$	0,0	1,0

\* Za nagibe između  $20^\circ$  i  $40^\circ$  vrijednost  $q_k$  može se odrediti linearnom interpolacijom.  
 NAPOMENA 1: Opterećenje  $q_k$  djeluje na ploštini  $A$  koja predstavlja cijelu ploštinu krova.  
 NAPOMENA 2: Svi nagibi krova mjere se u odnosu na horizontalu, a opterećenja djeluju vertikalno na horizontalnu projekciju krovne plohe.

*Tablica 4.7 Uporabna opterećenja neprohodnih krovova*

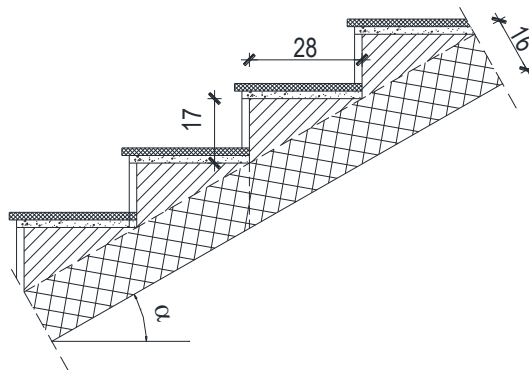
Iz tablice za uporabna opterećenja odabire se vrijednost promjenjivog djelovanja.

$$q=0.6 \text{ kN/m}^2$$

## 4.5 Stubište

### 4.5.1 Stalno djelovanje (G1)

Debljina ploče  
 $d=16 \text{ cm}$



Slika 4.4 Grafički prikaz slojeva konstrukcije stubišta

	d(m)	$\gamma(\text{kN/m}^3)$	$d*\gamma(\text{kN/m}^2)$
Završna obrada gazišta (kamena ploča)	0.02	28.0	0.56
Cementni namaz	0.01	20.0	0.20
Stuba	0.07	24.0	1.68

Tablica 4.8 Opterećenje na stubištu

Ukupno stalno opterećenje  $g = 2.5 \text{ kN/m}^2$

Napomena: Opterećenje od slojeva poda ne uključuju vlastitu težinu AB ploče.

#### 4.5.2 Promjenjivo djelovanje (Q)

19	S <sup>q</sup>	S1	Stubišta i stubišni podesti	Stubišta i stubišni podesti u stambenim i uredskim zgradama i ambulantom, bez teške opreme	3	2
20		S2		Sva stubišta i stubišni podesti koji se ne mogu razvrstati u S1 ili S3	5	2
21		S3		Pristupi i stubišta koji vode do tribina bez nepomičnih sjedala, a služe kao izlazi za nuždu	7,5	3
22	P <sup>q</sup>		Pristupi, balkoni i sl.	Krovne terase, trijemovi, lođe, balkoni, izlazni podesti	4	2

Tablica 4.9 Uporabna opterećenja stubišta i stubišnih podesta

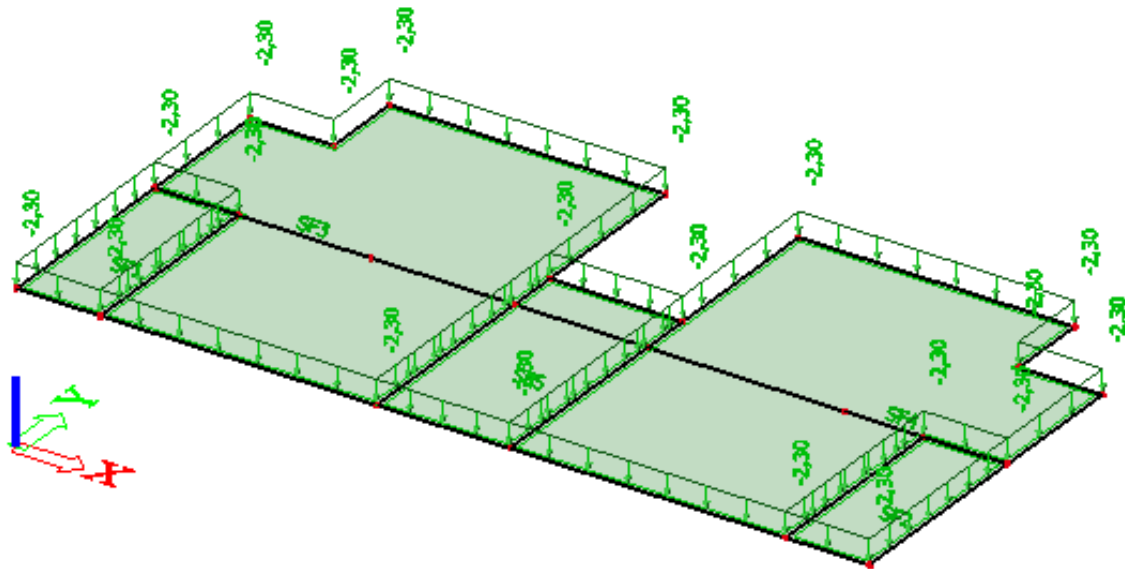
Iz tablice za uporabna opterećenja odabire se vrijednost promjenjivog djelovanja.

$$q = 3.0 \text{ kN/m}^2$$

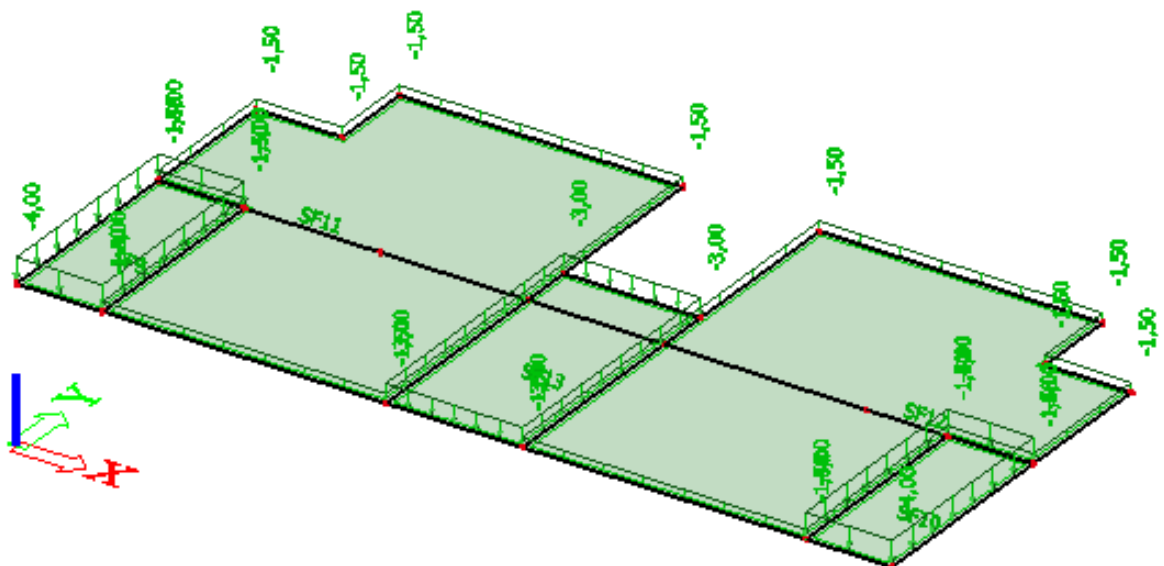


## 5. PRIKAZ OSNOVNIH DJELOVANJA

### 5.1 Međukatna ploča

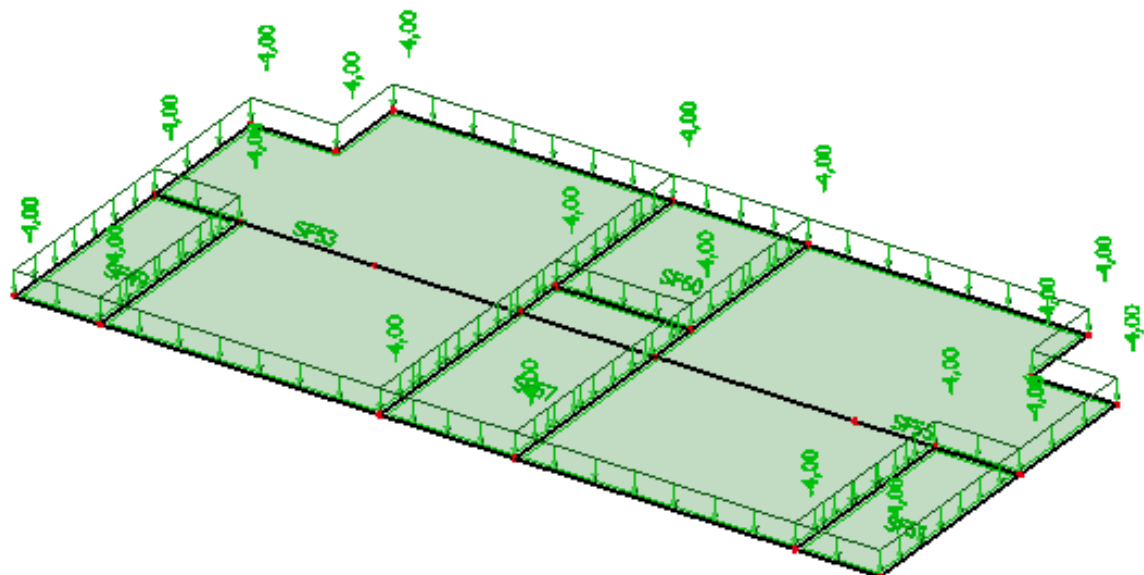


Slika 5.1 Dodatno stalno djelovanje  $G1(kN/m^2)$

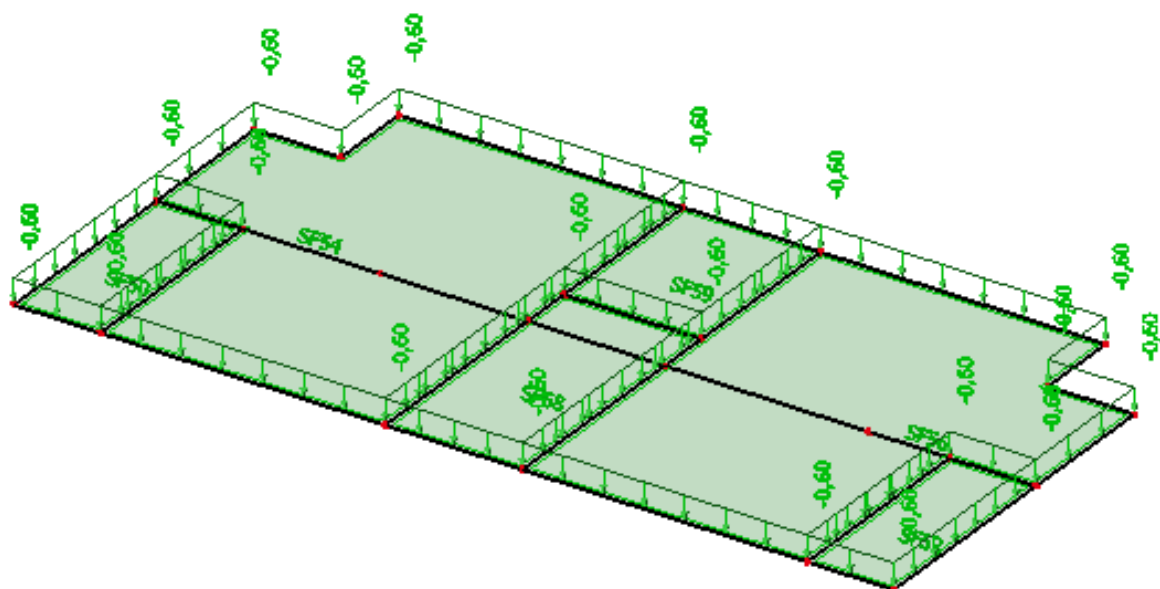


Slika 5.2 Promjenjivo djelovanje  $Q(kN/m^2)$

## 5.2 Krovna ploča

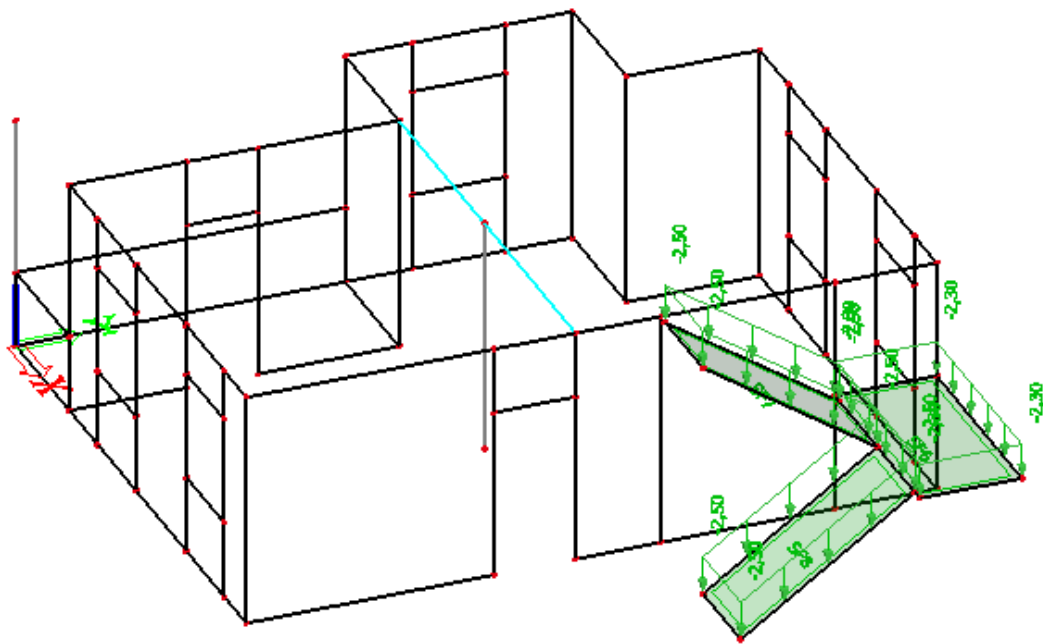


Slika 5.3 Dodatno stalno djelovanje  $G_1(\text{kN/m}^2)$

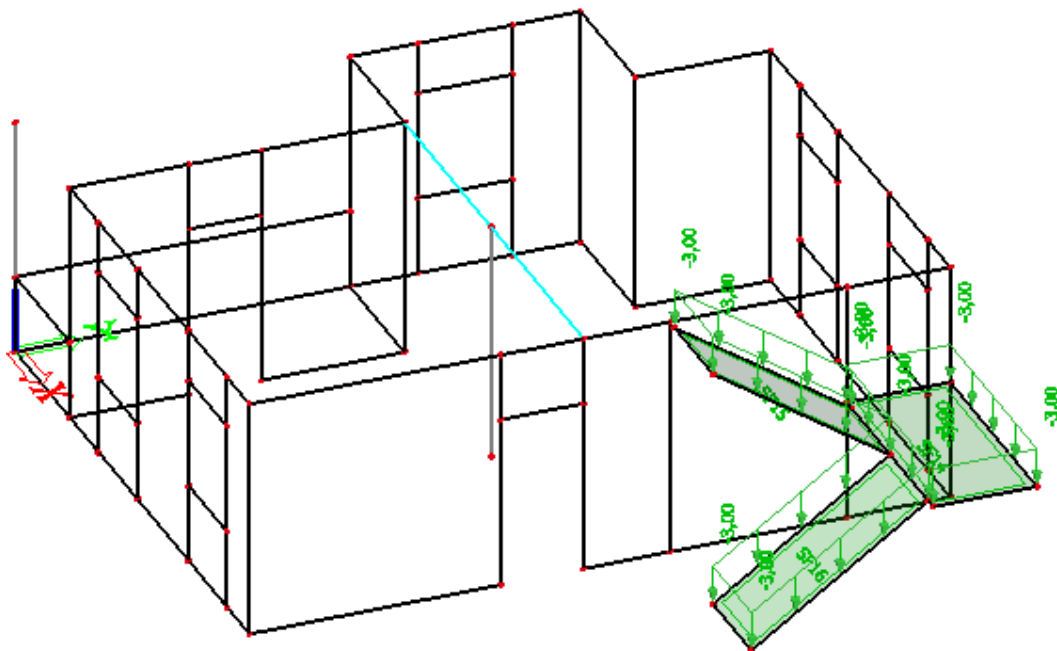


Slika 5.4 Promjenjivo djelovanje  $Q(\text{kN/m}^2)$

### 5.3 Stubište



Slika 5.5 Dodatno stalno djelovanje  $G_1$  ( $\text{kN/m}^2$ )



Slika 5.6 Promjenjivo djelovanje  $Q$  ( $\text{kN/m}^2$ )

## 6. KOMBINACIJE DJELOVANJA

Za dokaz nosivosti elemenata konstrukcije predmetne građevine osnovna djelovanja kombiniraju se za pojedina granična stanje i iznose:

### Granično stanje nosivosti

$$\text{GSN-1 } 1.35 \cdot G + 1.5 \cdot Q$$

G-vlastita težina + dodatno stalno djelovanje

Q-vodeće promjenjivo djelovanje

Granično stanje nosivosti koristimo za dimenzioniranje nosivih elemenata konstrukcije.

### Granično stanje uporabljivosti

$$\text{GSU-1 (česta kombinacija) } 1.0 \cdot G + \Psi_{1i} \cdot Q$$
$$1.0 \cdot G + 0.5 \cdot Q$$

$\Psi_{1i}=0.5$  za promjenjiva djelovanja u stambenim zgradama za čestu kombinaciju.

Česta kombinacija se koristi za kontrolu progiba ploča i greda, te za kontrolu pukotina ploča i greda.

$$\text{GSU-2 (nazovistalna kombinacija) } 1.0 \cdot G + \Psi_{2i} \cdot Q$$
$$1.0 \cdot G + 0.3 \cdot Q$$

$\Psi_{2i}=0.3$  za promjenjiva djelovanja u stambenim zgradama za nazovistalnu kombinaciju.

Nazovistalna kombinacija se koristi za ograničenje tlačnog naprezanja u armirano betonskim elementima, te za kontrolu dugotrajnih progiba.

## 7. PRORAČUN MEĐUKATNE PLOČE

U nastavku će se prikazati unutarnje sile i progibi za dva modela međukatne ploče. Prvi model ploče koji će biti prvi obrađen ima upete rubove, dok drugi model ima postavljene zglobove, odnosno oslobođen zaokret na rubovima. U prvom modelu javljaju se momenti na rubovima što predstavlja nerealno ponašanje ploče, stoga se radi drugi model u kojem se ne javljaju momenti na rubovima ploče.

Limitirajući moment:

$$M_{Rd,lim} = \mu_{sd,lim} \cdot b_w \cdot d^2 \cdot f_{cd} = 0.159 \cdot 1.0 \cdot 0.135^2 \cdot 16.66 \cdot 1000 = 48.3 \text{ kNm}$$

Minimalna i maksimalna armatura za ploče:

$$A_{s,min} = 0.0015 \cdot b \cdot d = 0.0015 \cdot 100 \cdot 13.5 = 2.02 \text{ cm}^2 / m$$

$$A_{s,min} = 0.06 \cdot b \cdot \frac{d}{f_{yk}} = 0.6 \cdot 100 \cdot \frac{13.5}{500} = 1.62 \text{ cm}^2 / m$$

$$A_{s,max} = 0.31 \cdot b \cdot d \cdot \frac{f_{cd}}{f_{yd}} = 0.31 \cdot 100 \cdot 13.5 \cdot \frac{16.66}{434.8} = 16.04 \text{ cm}^2 / m$$

Za proračun armature usvaja se  $\zeta \approx 0.9$ , potrebna armatura:

$$A_{s1} = \frac{M_{Ed}}{\zeta \cdot d \cdot f_{yd}} = \frac{M_{Ed} \cdot 100}{0.9 \cdot 13.5 \cdot 43.48} = M_{Ed} \cdot 0.189$$

Računska nosivost na poprečnu silu bez poprečne armature:

$$V_{Rd,c} = \left[ C_{Rdc} \cdot k \cdot (100 \cdot \rho_l \cdot f_{ck})^{1/3} + k_1 \cdot \sigma_{cp} \right] \cdot b_w \cdot d$$

$$k = 1.0 + \sqrt{\frac{200}{d}} = 1.0 + \sqrt{\frac{200}{135}} = 2.21 \leq 2.0 \Rightarrow k = 2.00$$

$$k_1 = 0.15$$

$$\sigma_{cp} = N_{Ed} / A_c = 0.0$$

$$C_{Rdc} = 0.18 / \gamma_c = 0.18 / 1.5 = 0.12$$

$$\rho_l = \frac{\sum A_s}{A_c} = \frac{2.57}{13.5 \cdot 100} = 0.0019$$

$$V_{Rd,c} = \left[ 0.12 \cdot 2.00 \cdot (100 \cdot 0.0019 \cdot 25.0)^{1/3} + 0.15 \cdot 0.0 \right] \cdot 1000 \cdot 135$$

$$V_{Rd,c} = 55 \text{ kN} / m$$

$$V_{Rd,c,min} = [v_{min} + k_1 \cdot \sigma_{cp}] \cdot b_w \cdot d$$

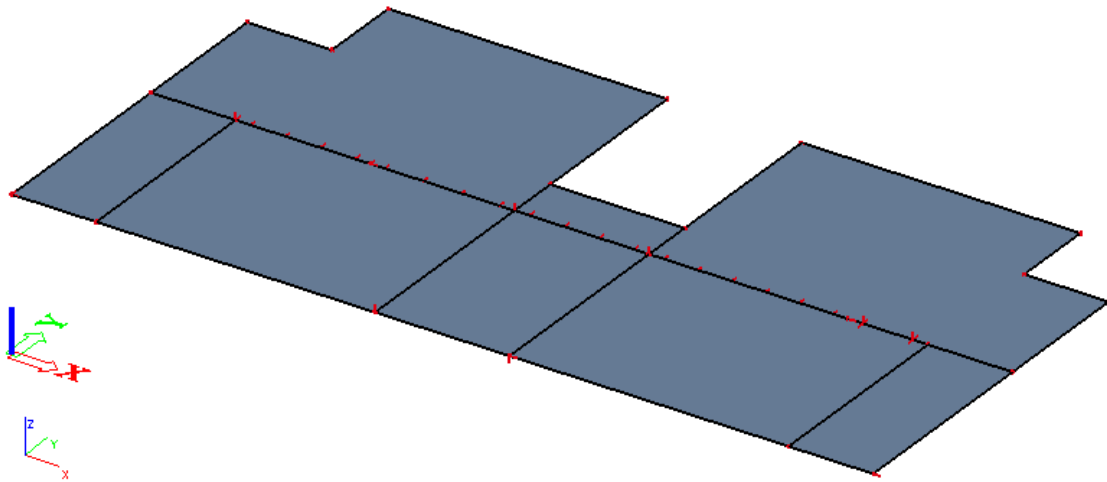
$$k_1 = 0.15$$

$$v_{min} = 0.035 \cdot k^{3/2} \cdot f_{ck}^{1/2} = 0.035 \cdot 2.0^{3/2} \cdot 25^{1/2} = 0.495$$

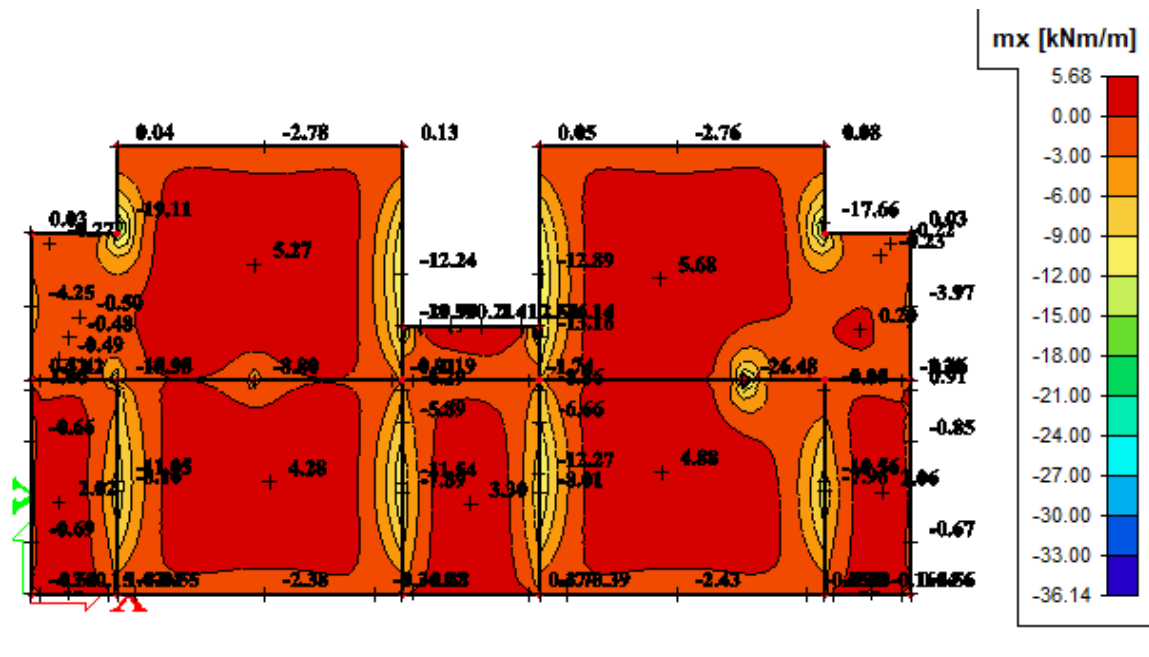
$$\sigma_{cp} = N_{sd} / A_c = 0.0$$

$$V_{Rd,c,min} = 0.495 \cdot 1000 \cdot 135 = 67 \text{ kN/m}$$

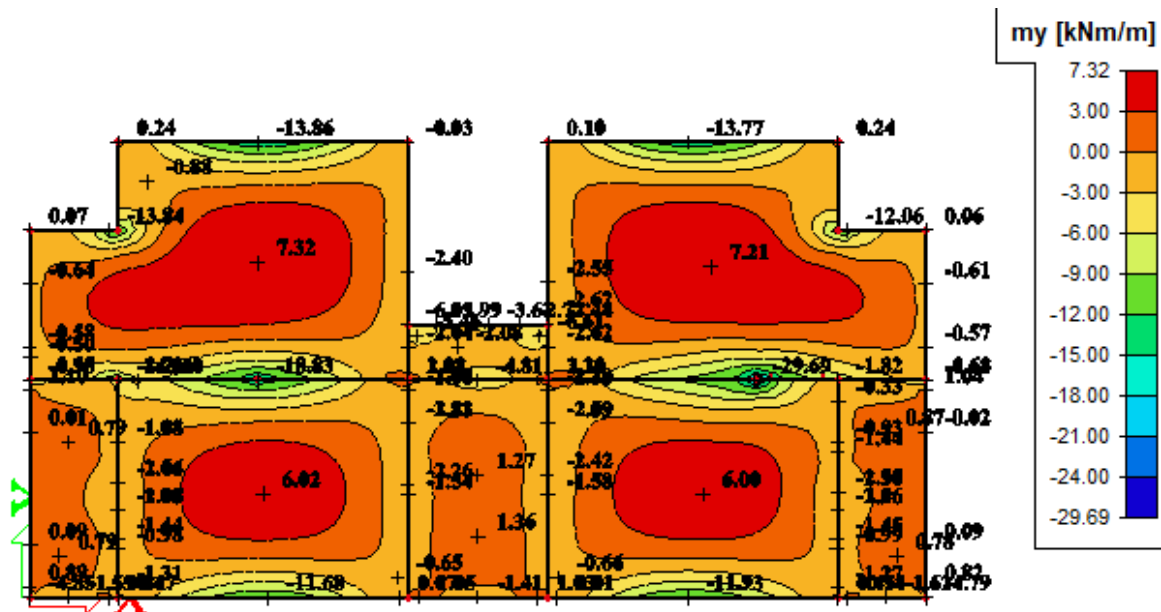
## 7.1 Prikaz modela 1. i rezultata proračuna



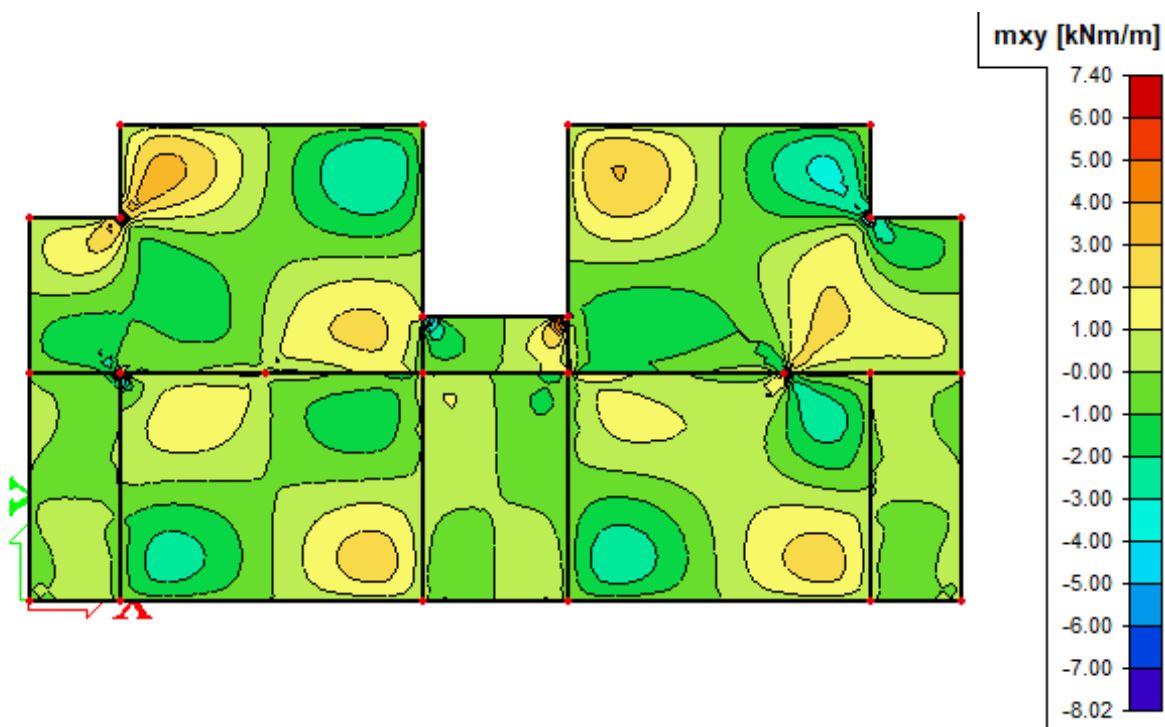
Slika 7.1 Prikaz modela 1.



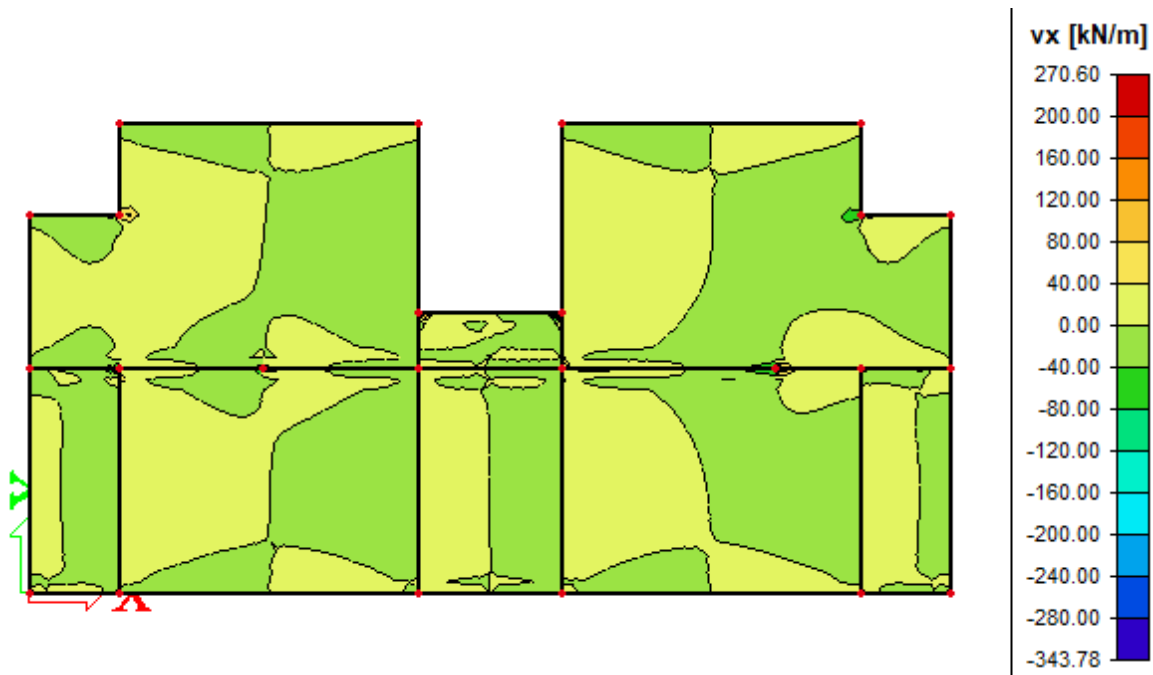
Slika 7.2 Moment savijanja  $M_{Ed,x}$  (kNm/m) za GSN-1



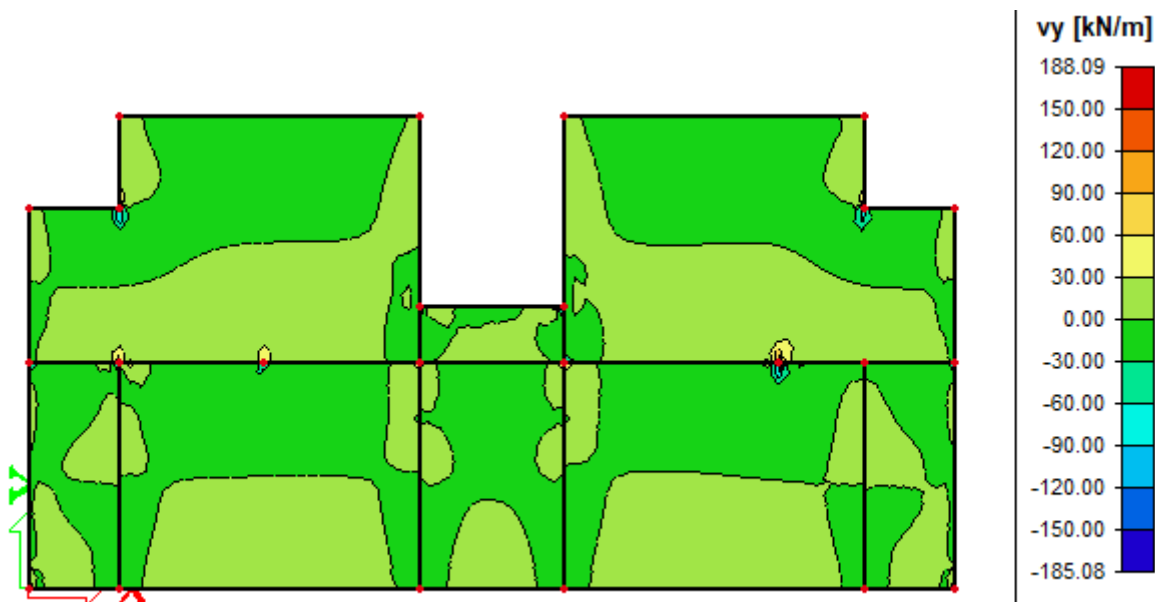
Slika 7.3 Moment savijanja  $M_{Ed,y}$  (kNm/m) za GSN-1



Slika 7.4 Moment savijanja  $M_{Ed,xy}$  (kNm/m) za GSN-1

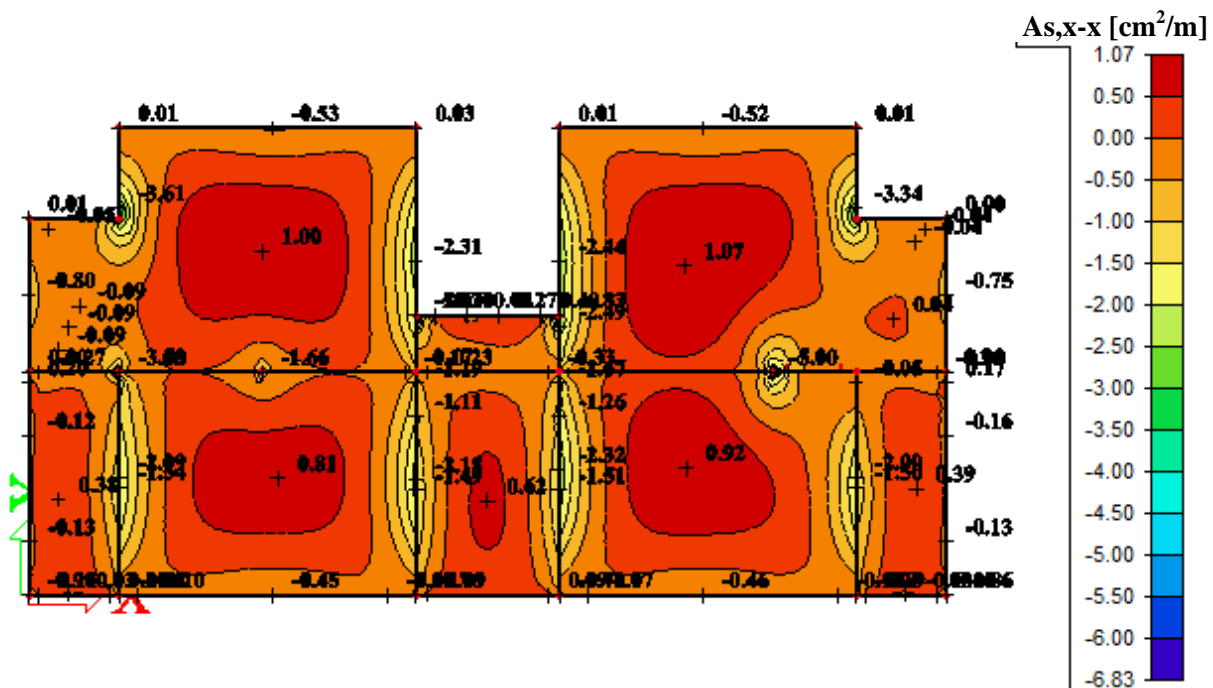


Slika 7.5 Poprečne sile  $V_{Ed,x}$  (kN/m) za GSN-1

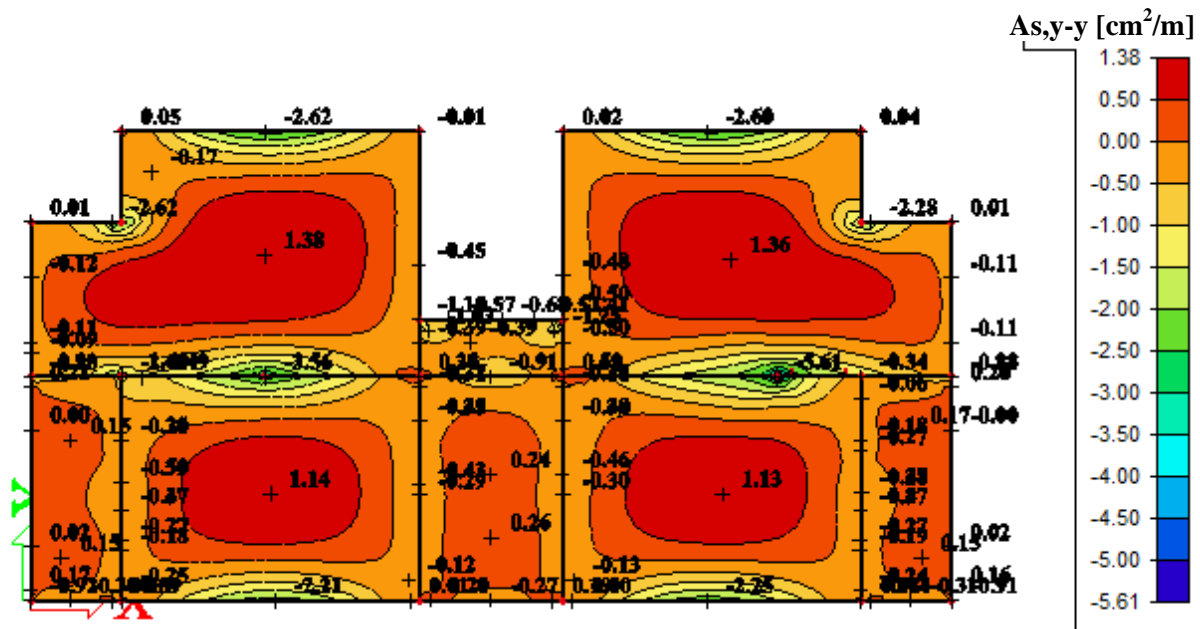


Slika 7.6 Poprečne sile  $V_{Ed,y}$  (kN/m) za GSN-1





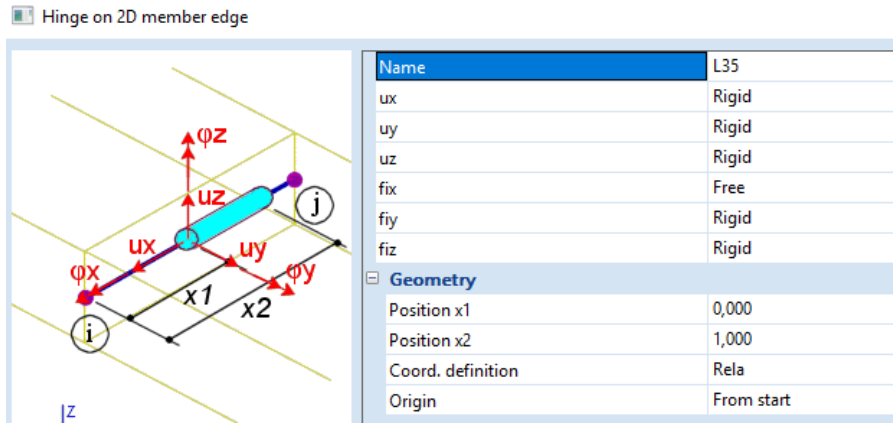
Slika 7.7 Armatura u ploči smjer  $A_{s,x-x}$  ( $\text{cm}^2/\text{m}$ ) za GSN-1



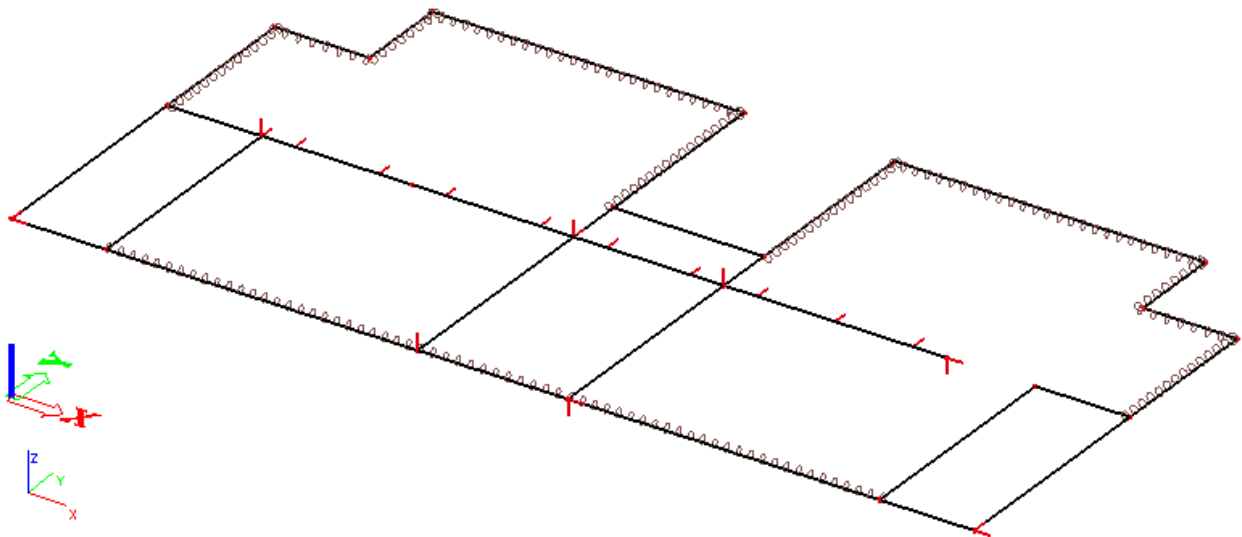
Slika 7.8 Armatura u ploči smjer  $A_{s,y-y}$  ( $\text{cm}^2/\text{m}$ ) za GSN-1

## 7.2 Prikaz modela 2. i rezultata proračuna

U ovom modelu dopuštamo zaokret na rubovima ploče, te na mjestima oslobođenog zaokreta ne dolazi do javljanja momenta savijanja.

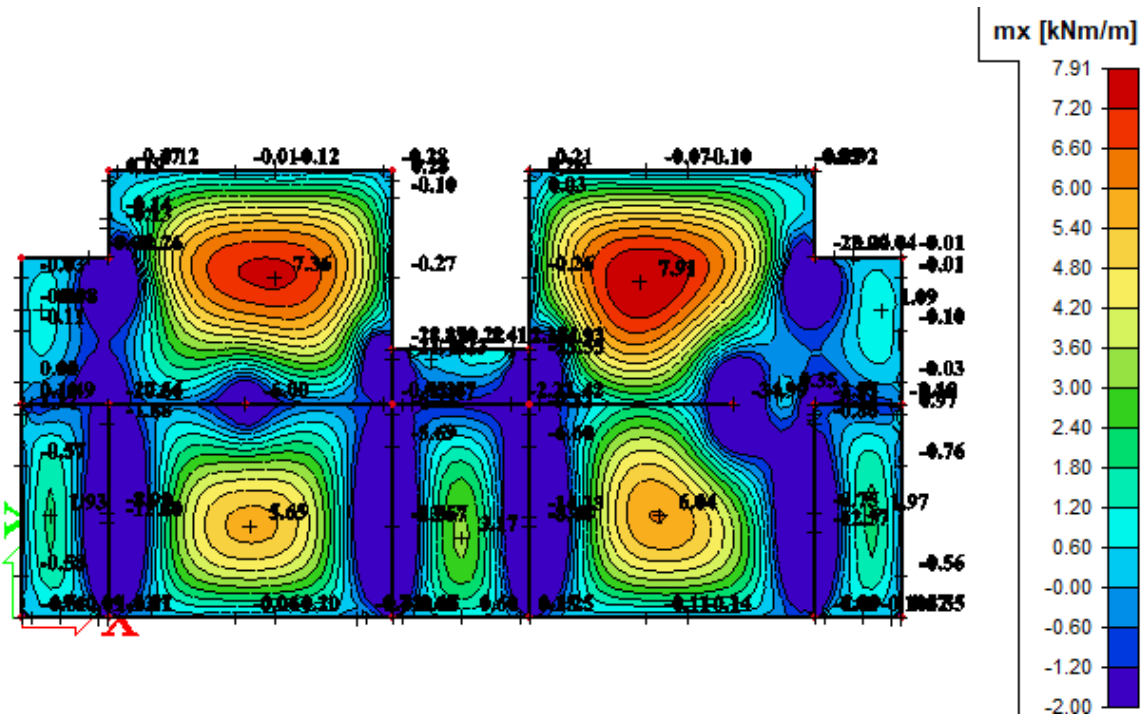


Slika 7.9 Prikaz oslobađanja zaokreta na rubovima ploče

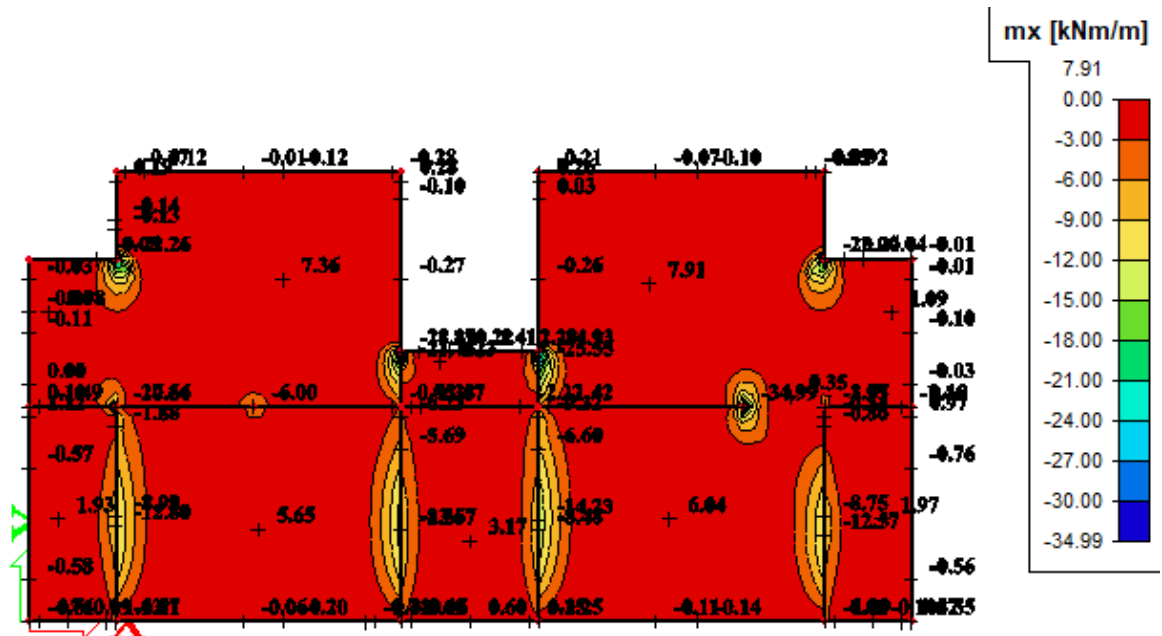


Slika 7.10 Prikaz modela 2.

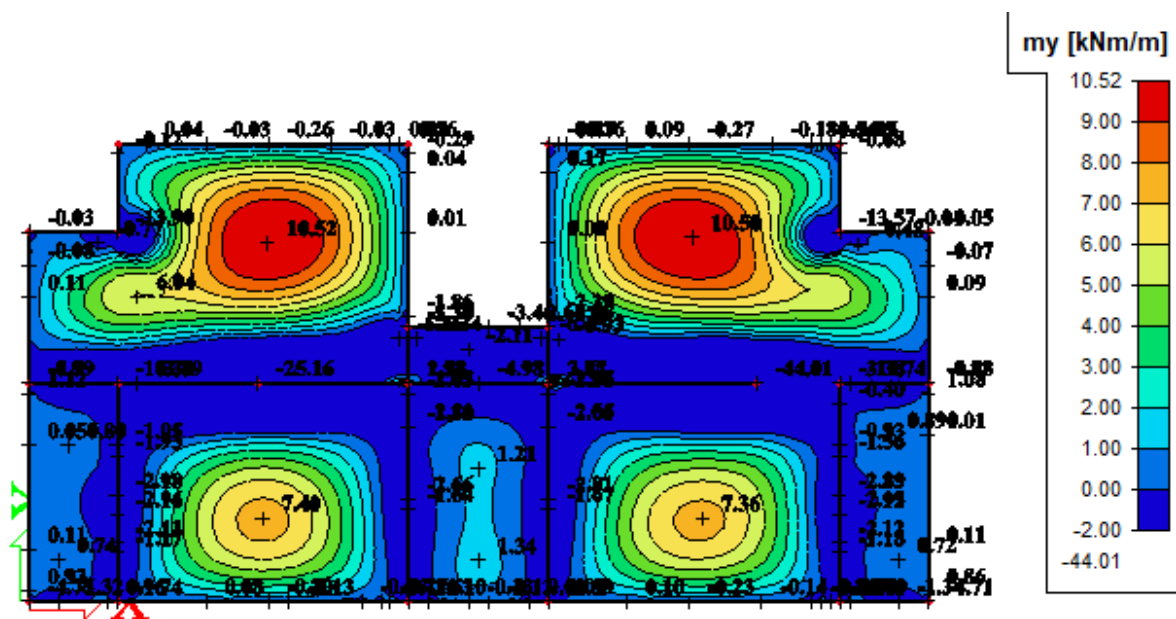
Zbog loše preglednosti dijagrami rezultata momenata savijanja prikazani su zasebno u polju i zasebno na ležajevima.



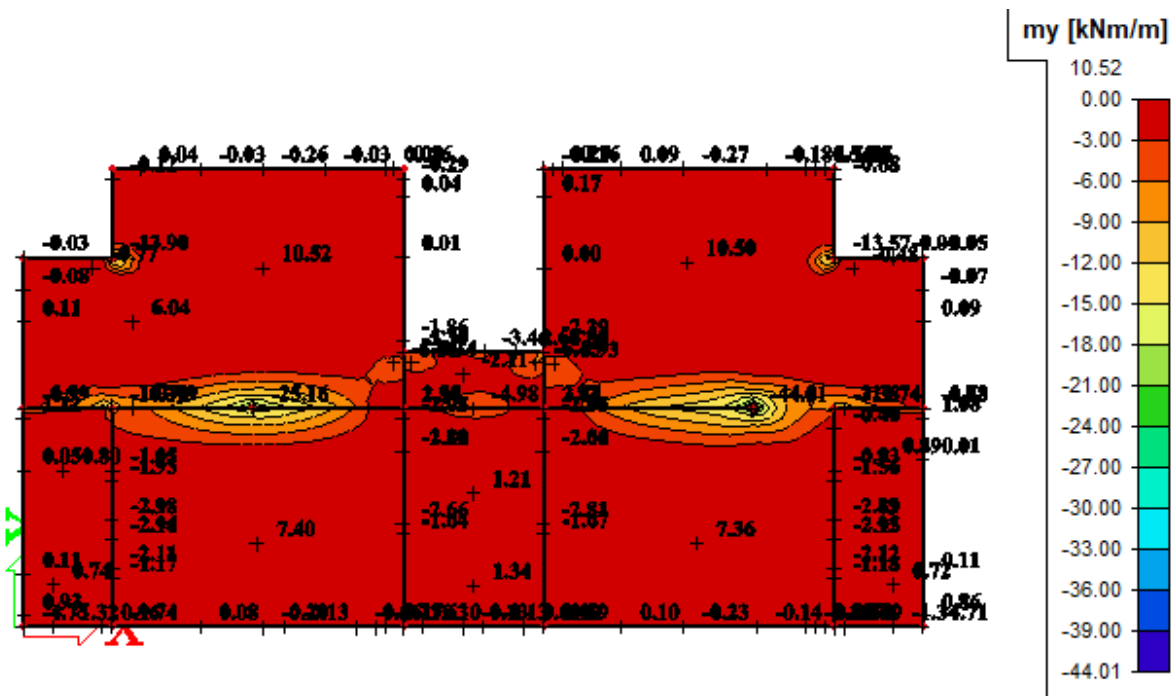
Slika 7.11 Moment savijanja (polje)  $M_{Ed,x}$  ( $\text{kNm/m}$ ) za GSN-1



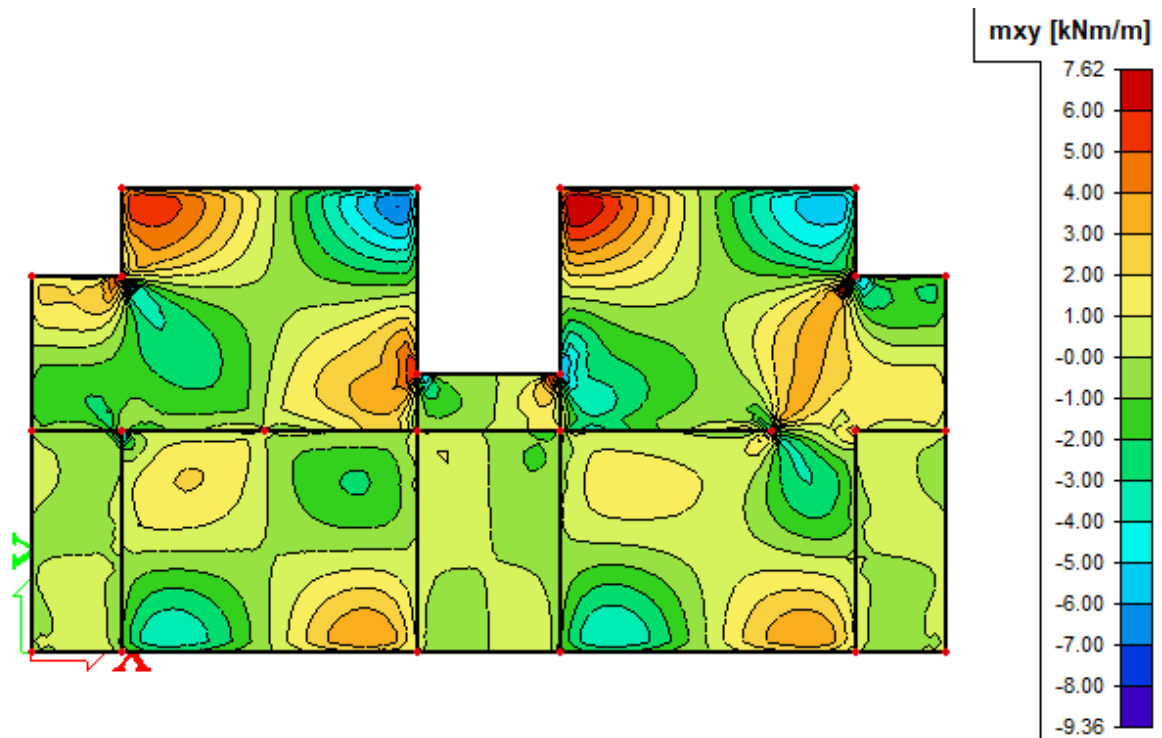
Slika 7.12 Moment savijanja (ležaj)  $M_{Ed,x}$  ( $\text{kNm/m}$ ) za GSN-1



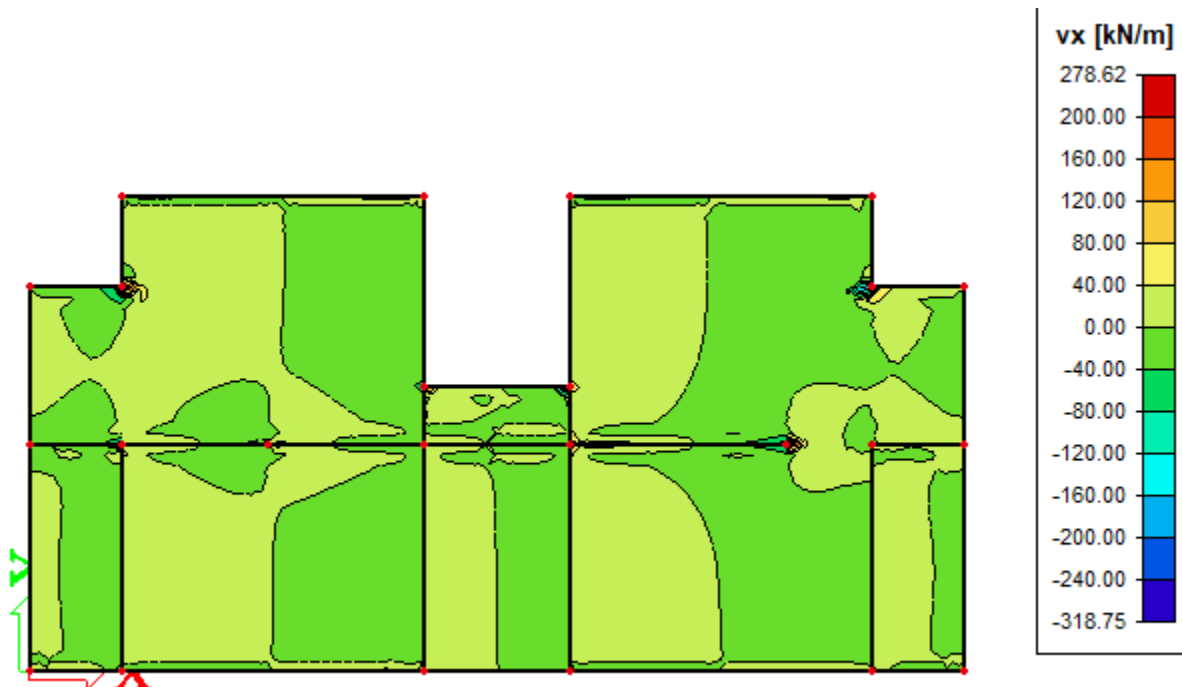
Slika 7.13 Moment savijanja (polje)  $M_{Ed,y}$  (kNm/m) za GSN-1



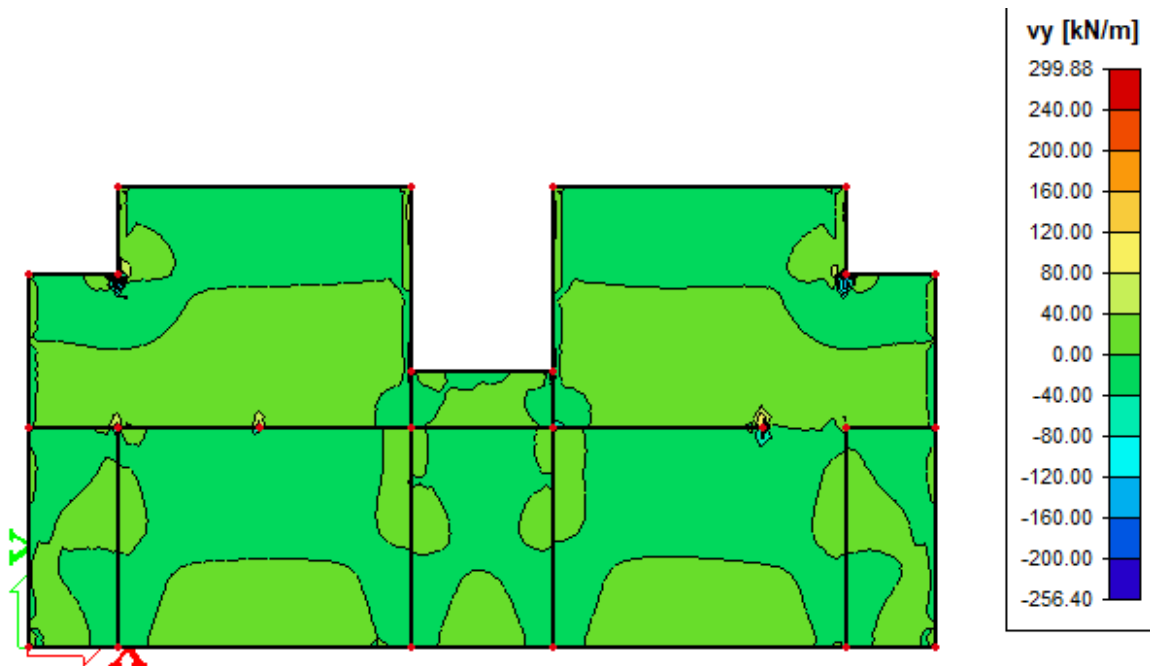
Slika 7.14 Moment savijanja (ležaj)  $M_{Ed,y}$  (kNm/m) za GSN-1



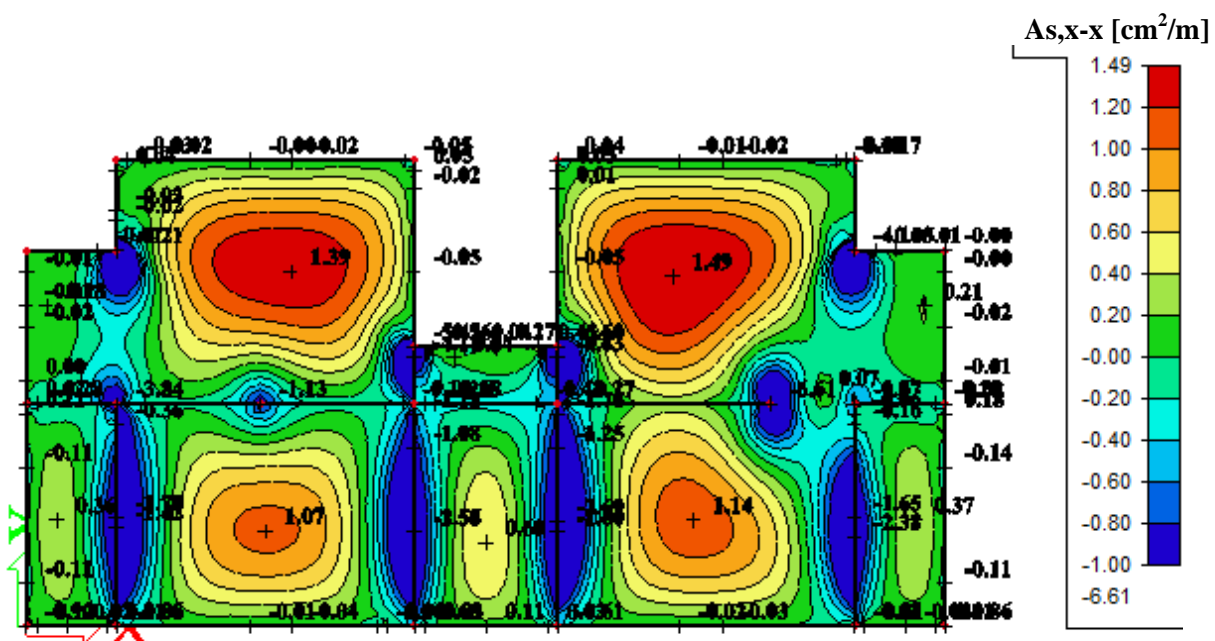
Slika 7.15 Moment savijanja  $M_{Ed,xy}$  (kNm/m) za GSN-1



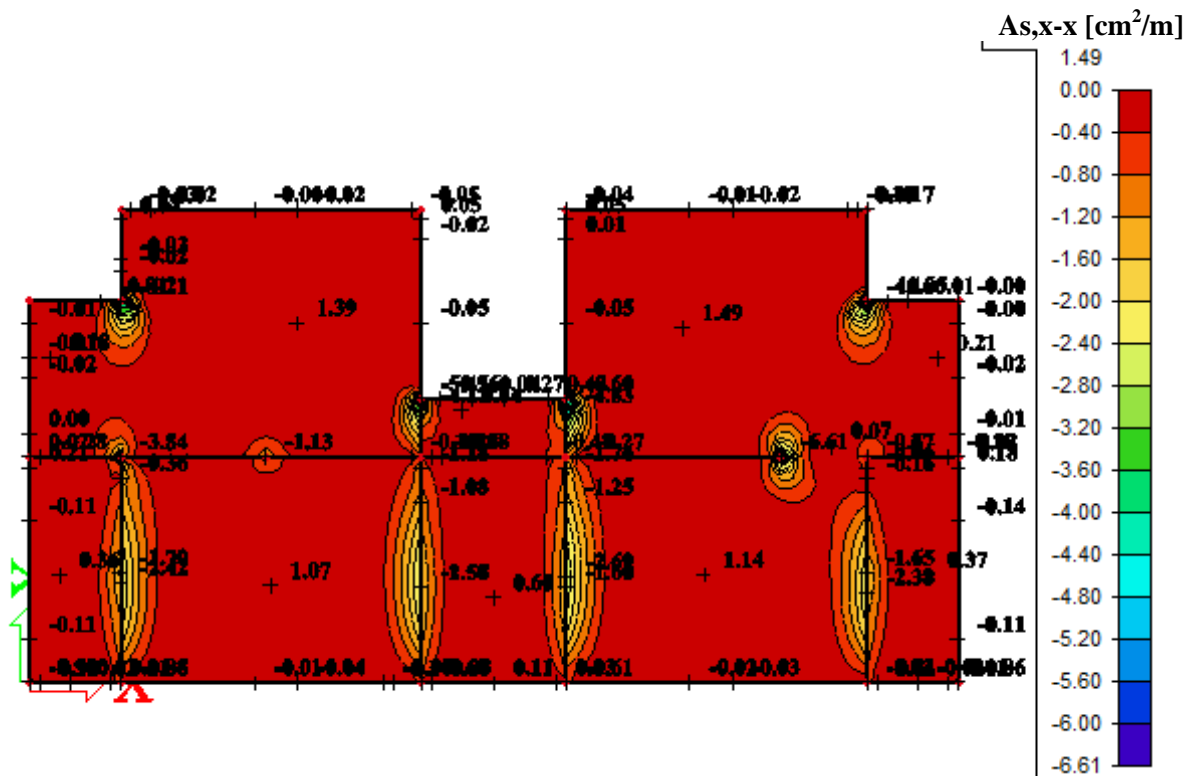
Slika 7.16 Poprečne sile  $V_{Ed,x}$  (kN/m) za GSN-1



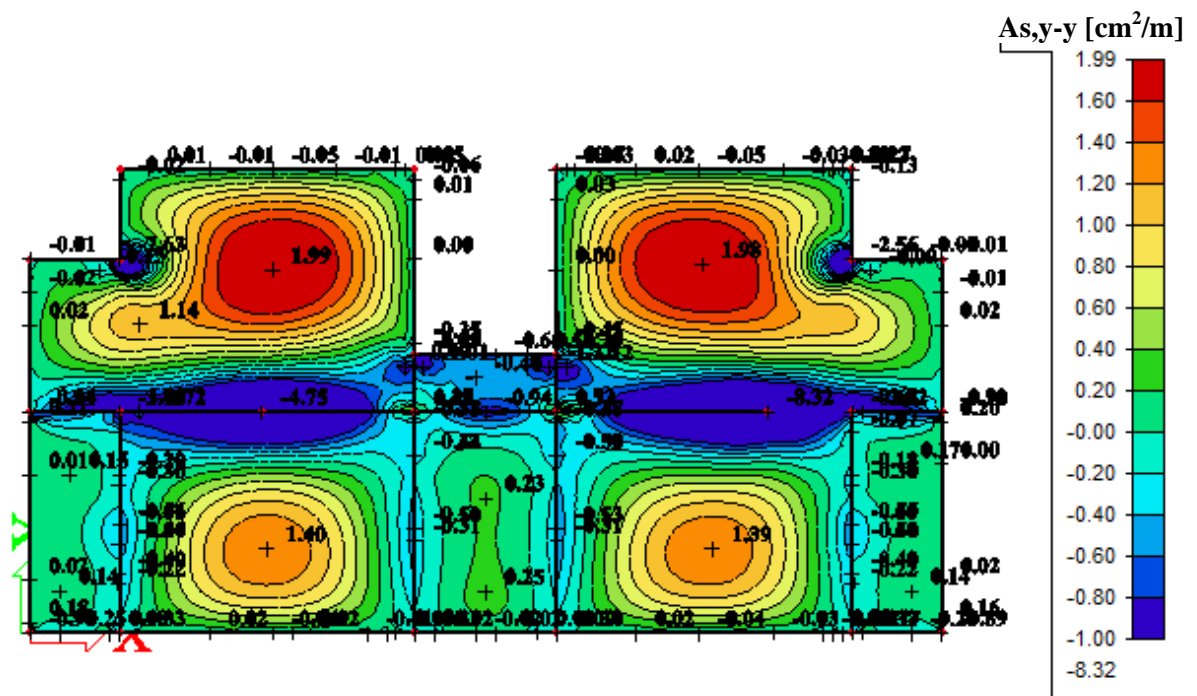
Slika 7.17 Poprečne sile  $V_{Ed,y}$  (kN/m) za GSN-1



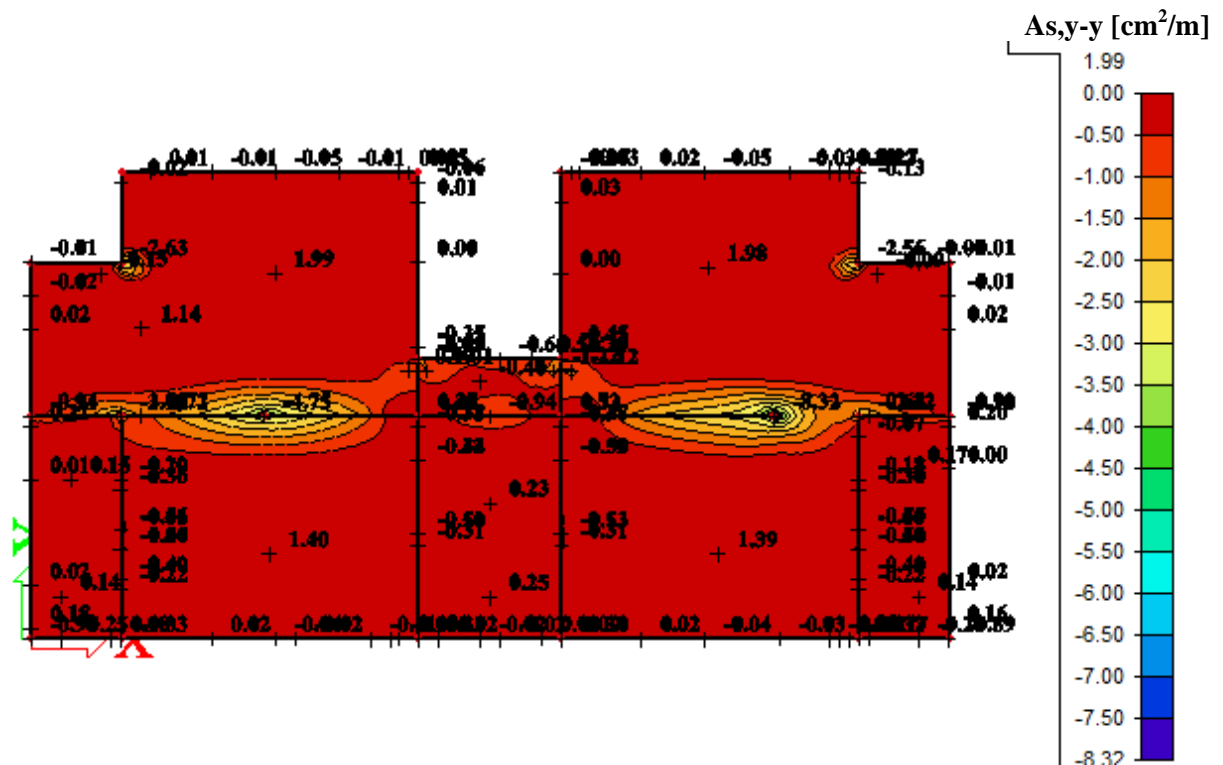
Slika 7.18 Armatura u ploči smjer  $A_{s,x-x}$  (polje) ( $cm^2/m$ ) za GSN-1



Slika 7.19 Armatura u ploči smjer  $A_{s,x-x}$  (ležaj) ( $\text{cm}^2/\text{m}$ ) za GSN-1

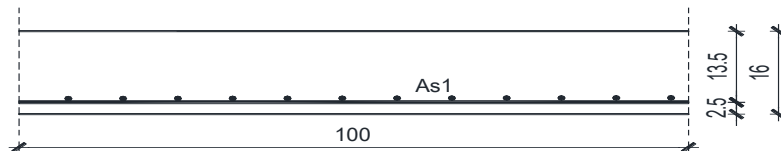


Slika 7.20 Armatura u ploči smjer  $A_{s,y-y}$  (polje) ( $\text{cm}^2/\text{m}$ ) za GSN-1



Slika 7.21 Armatura u ploči smjer  $A_{s,y-y}$  (ležaj) ( $\text{cm}^2/\text{m}$ ) za GSN-1

### 7.2.1 Dimenzioniranje ploče na moment savijanja



Slika 7.22 Poprečni presjek ploče

$h=16$  cm

zaštitni sloj:  $a=2.0$  cm;  $d=13.5$  cm

Beton:

C 25/30

$f_{ck}=25.0$  MPa

$E_{cm}=30.0$  GPa

Armatura: B 500B

$f_y=500$  MPa

Napomena: Dobivenu armaturu zbog preraspodjele umanjiti nad ležajem za 15 % i povećati u polju 25%.



Armatura u polju  $1.99 \text{ cm}^2 * 1.25 = 2.49 \text{ cm}^2$   
Armatura na ležaju  $2.38 \text{ cm}^2 * 0.85 = 2.02 \text{ cm}^2$

#### ODABRANA ARMATURA

Polje Q-257 ( $2.57 \text{ cm}^2/\text{m}$ )

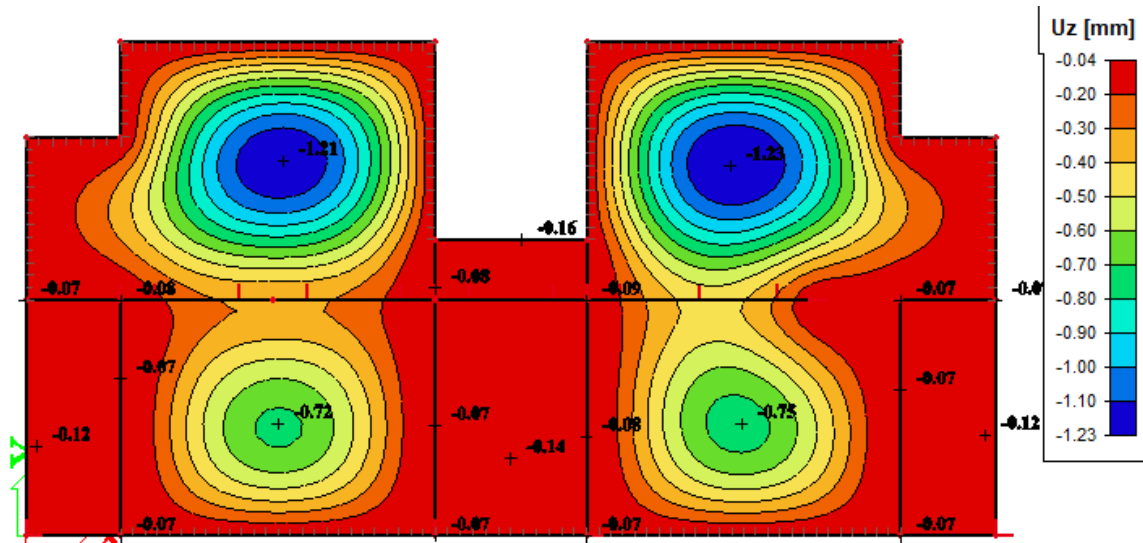
Ležaj Q-257 ( $2.57 \text{ cm}^2/\text{m}$ )

Na mjestima gdje je potrebna veća armatura postavljaju se šipke  $\Phi 10$  u jednom ili oba smjera na razmaku od 20 cm.

Vidimo da kod drugog modela u odnosu na prvi dolazi do preraspodjele momenta sa ruba na moment u polje i moment nad ležajem. U polju dolazi do povećanja momenta za oko 60% vrijednosti momenta koji se javlja u prvom modelu. Također dolazi do povećanja momenta i nad ležajevima, stoga drugi model uzimamo kao mjerodavan jer prikazuje realnije ponašanje ploče.

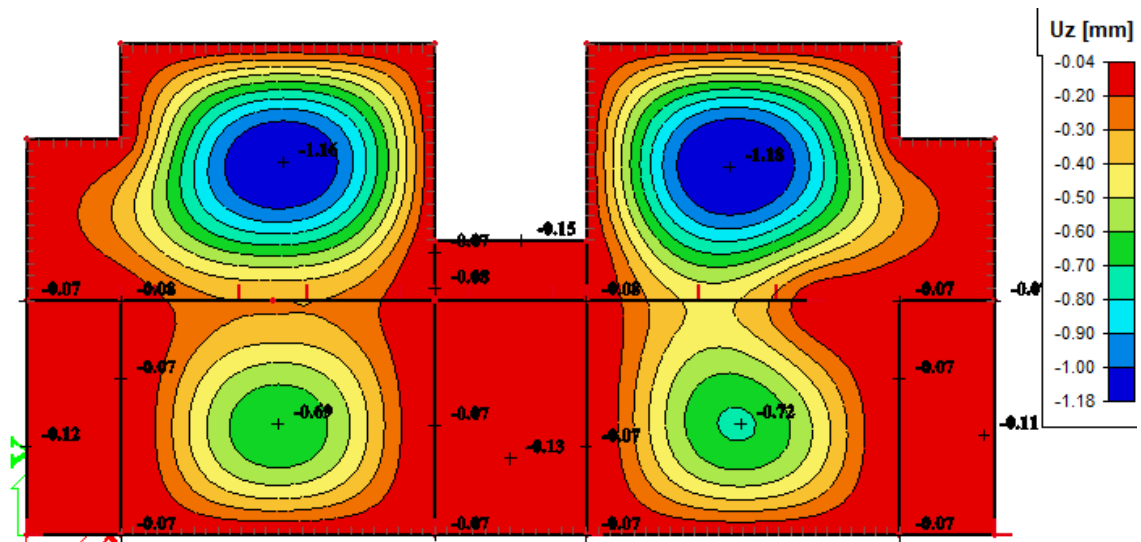
Armaturni plan međukatne ploče za donju i gornju zonu priloženi su u grafičkim priložima.

## 7.2.2 Kontrola progiba međukatne ploče



Slika 7.23 Progib ploče (mm) za kombinaciju GSU-1

Najveći progib iznosa je 1,23 mm  
Dozvoljen progib  $L/1000 = 460/1000 = 4,6$  mm  
Međukatna ploča zadovoljava na progibe.



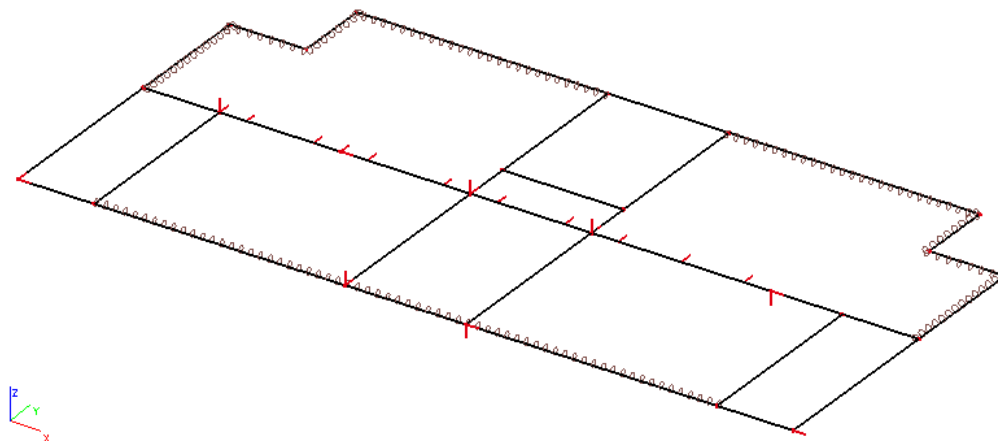
Slika 7.24 Progib ploče (mm) za kombinaciju GSU-2

Najveći progib iznosa je 1,18 mm  
Dozvoljen progib  $L/1250 = 460/1250 = 3,68$  mm  
Međukatna ploča zadovoljava na progibe.

## 8. PRORAČUN KROVNE PLOČE

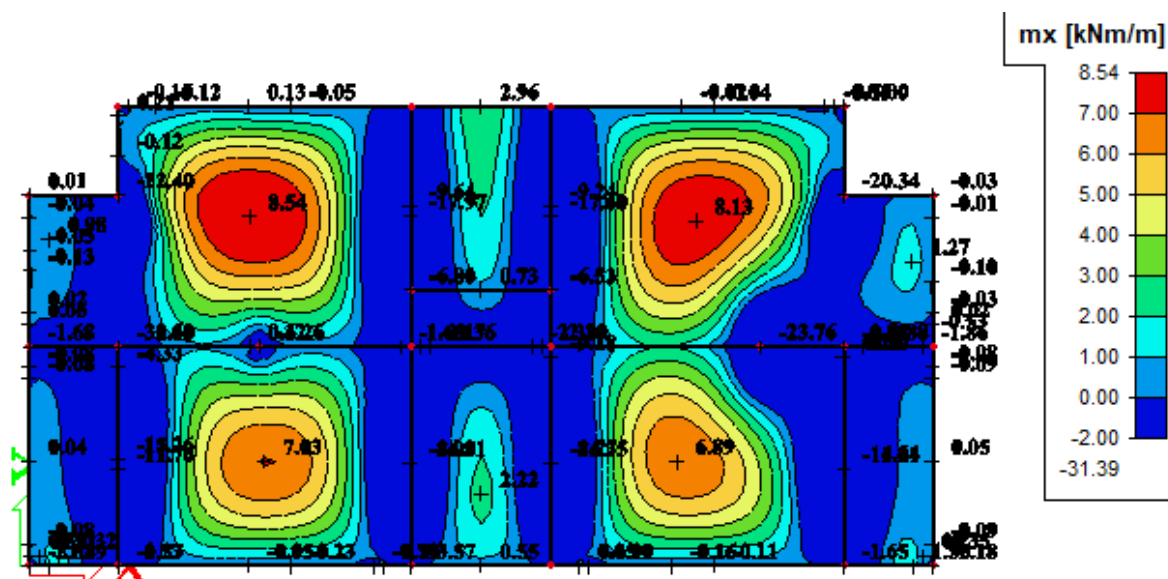
Nakon iznesenih zaključaka u prethodnom poglavlju u ovom ćemo prikazati samo rezultate sa drugog modela. (Napomena: kod drugog modela oslobođen je zaokret na rubovima, te ne dolazi do javljanja momenta na tim mjestima.)

### 8.1 Prikaz modela i rezultata

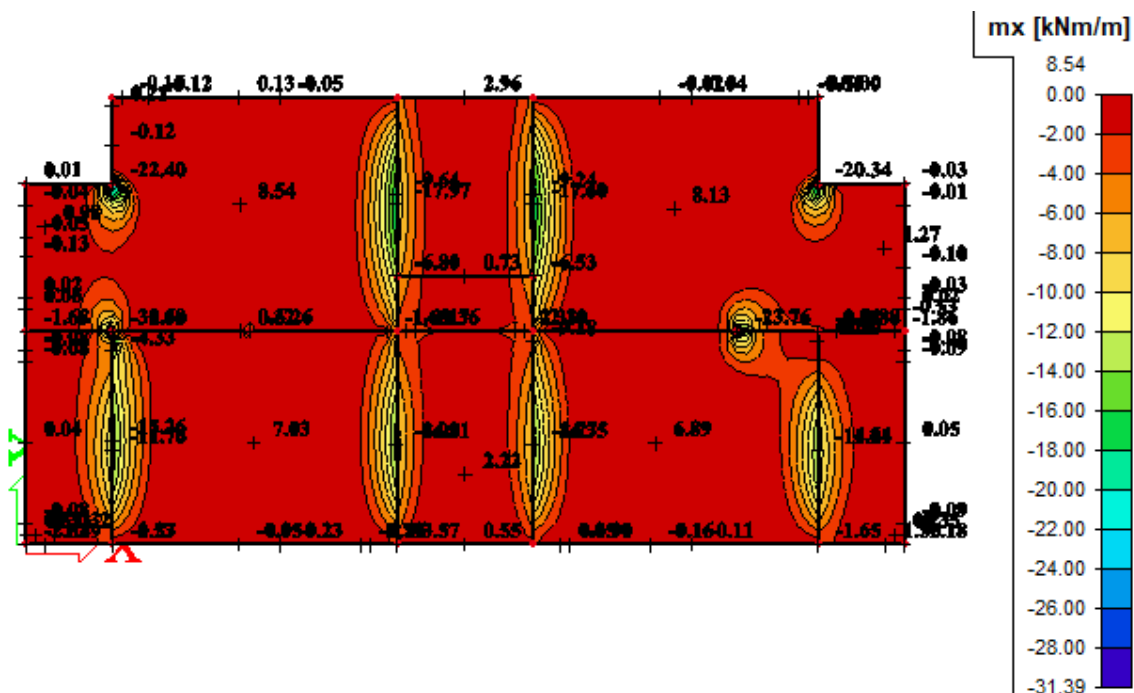


Slika 8.1 Prikaz modela

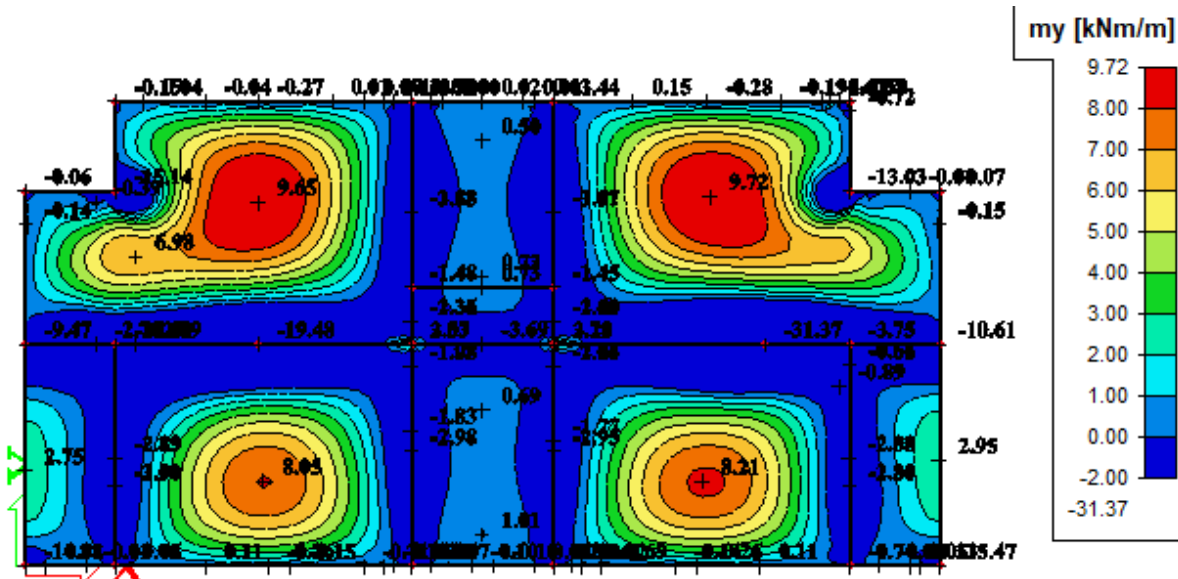
Zbog loše preglednosti dijagrama rezultati momenata savijanja prikazani su zasebno u polju i zasebno na ležajevima.



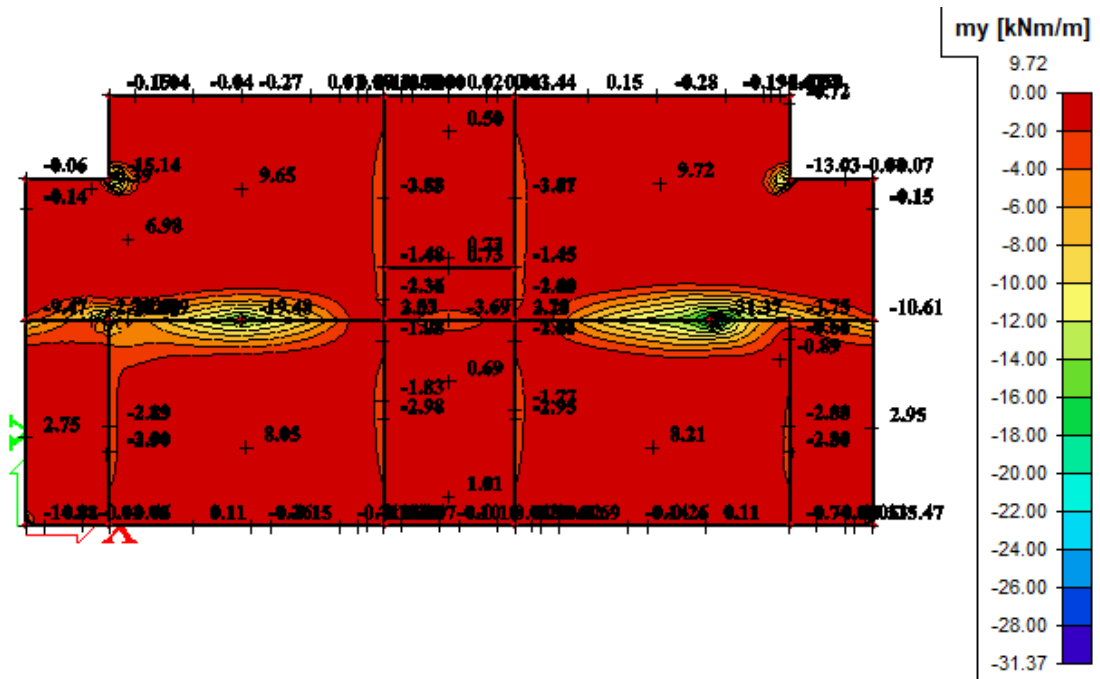
Slika 8.2 Moment savijanja (polje)  $M_{Ed,x}$  (kNm/m) za GSN-1



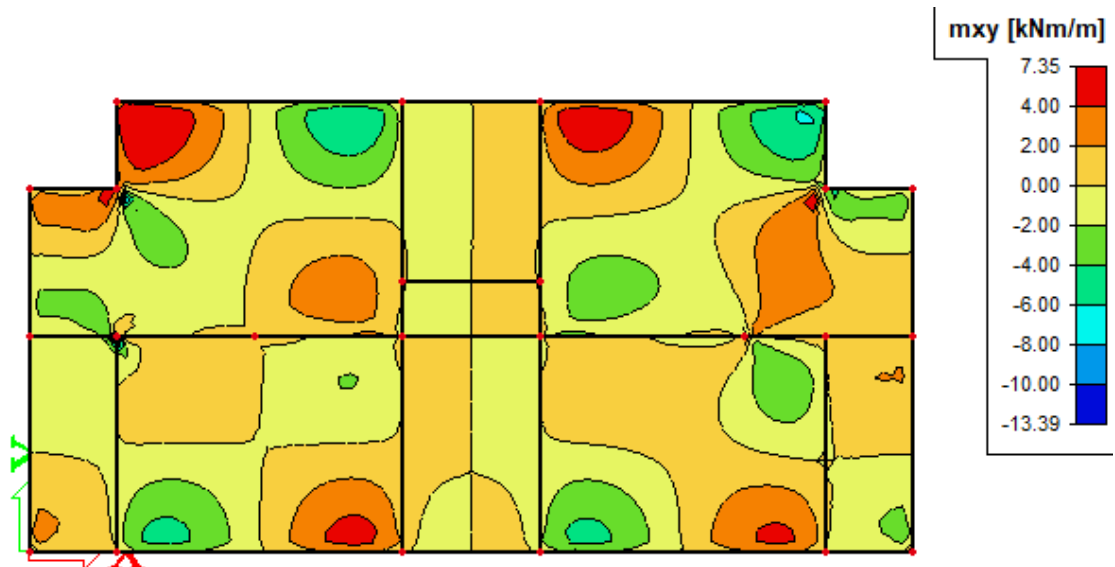
Slika 8.3 Moment savijanja (ležaj)  $M_{Ed,x}$  (kNm/m) za GSN-1



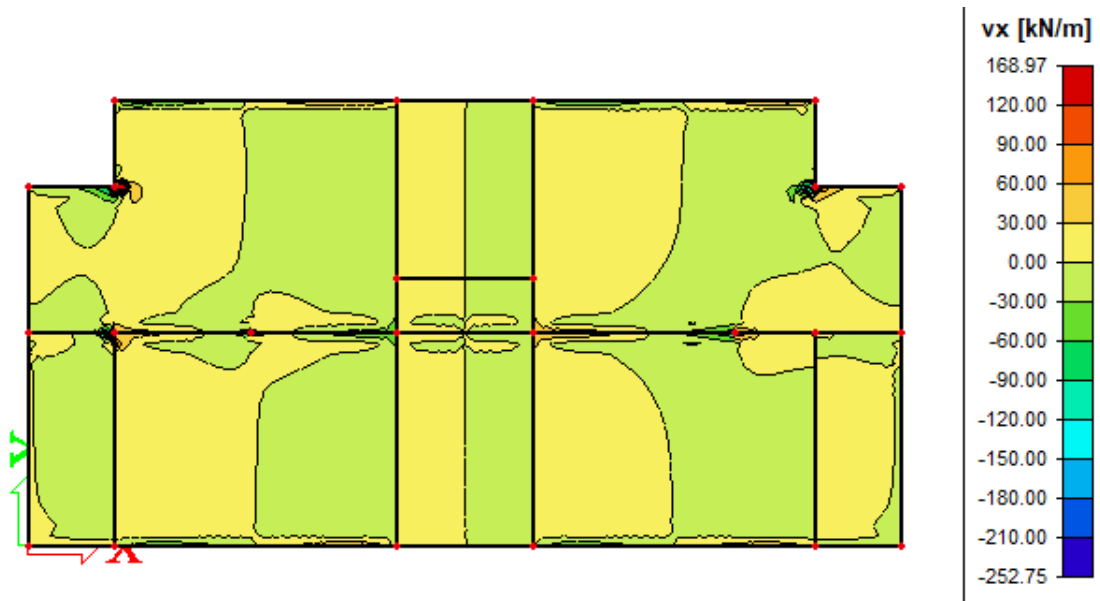
Slika 8.4 Moment savijanja (polje)  $M_{Ed,y}$  (kNm/m) za GSN-1



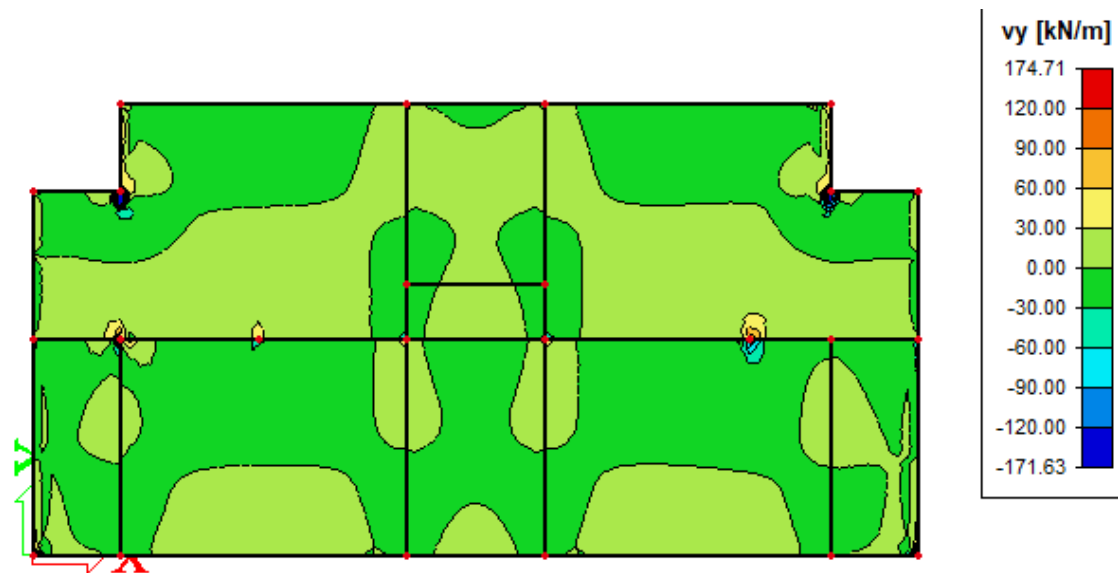
Slika 8.5 Moment savijanja (ležaj)  $M_{Ed,y}$  (kNm/m) za GSN-1



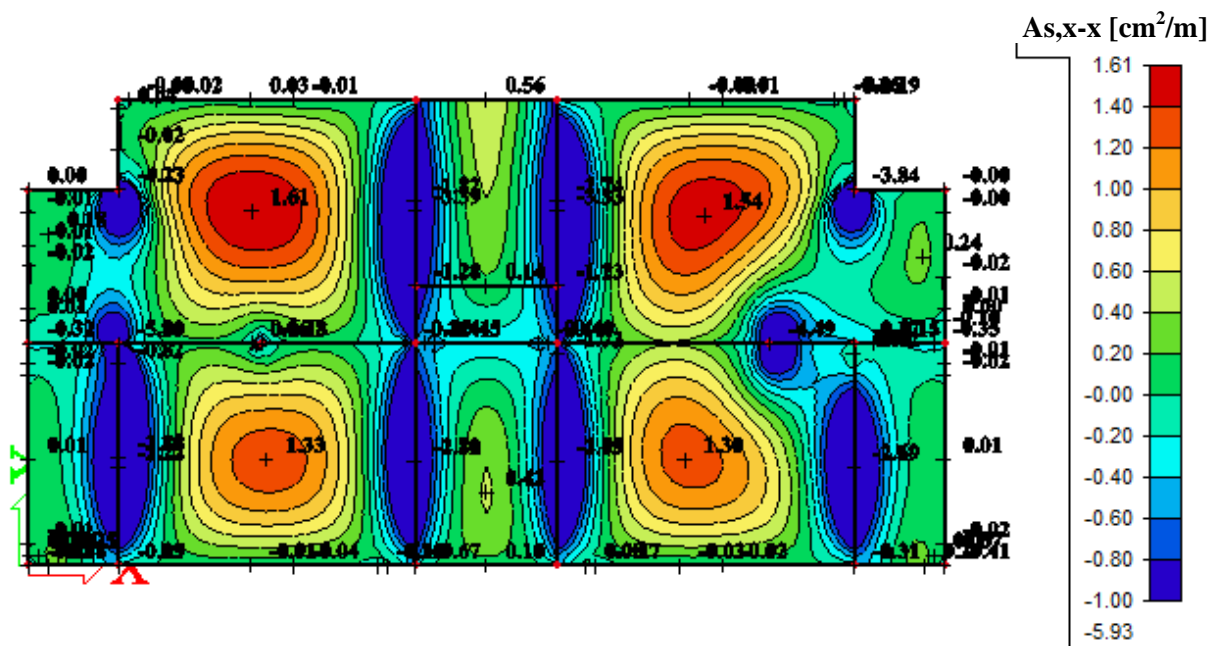
Slika 8.6 Moment savijanja  $M_{Ed,xy}$  (kNm/m) za GSN-1



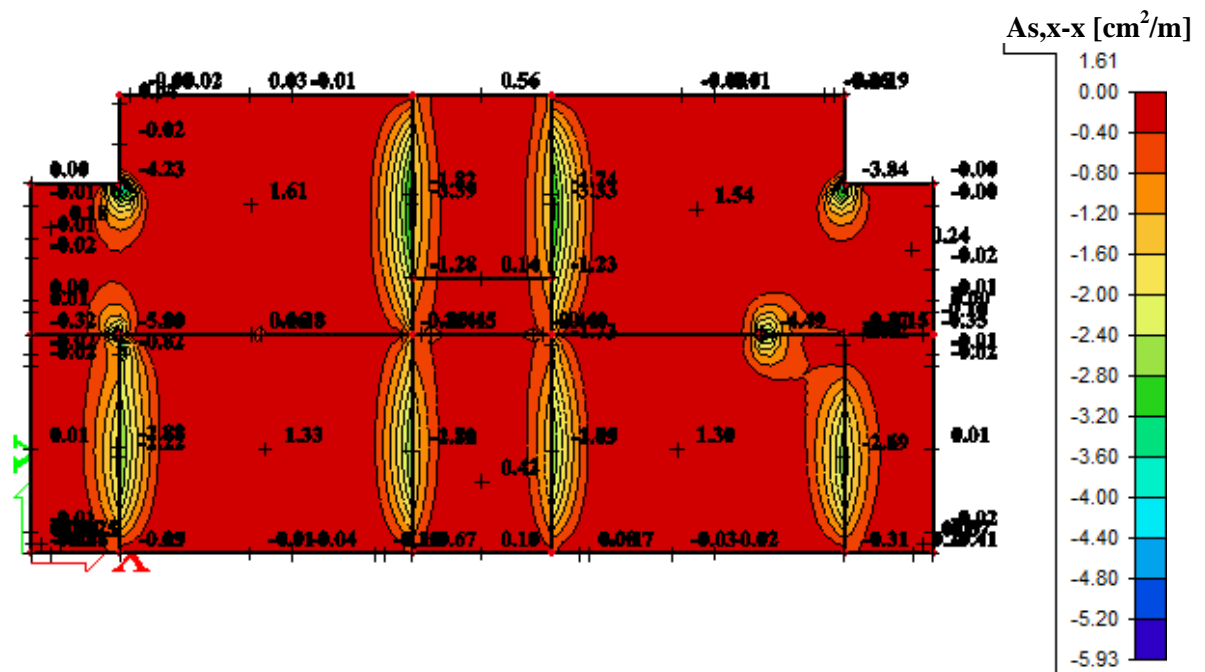
Slika 8.7 Poprečne sile  $V_{Ed,x}$  (kN/m) za GSN-1



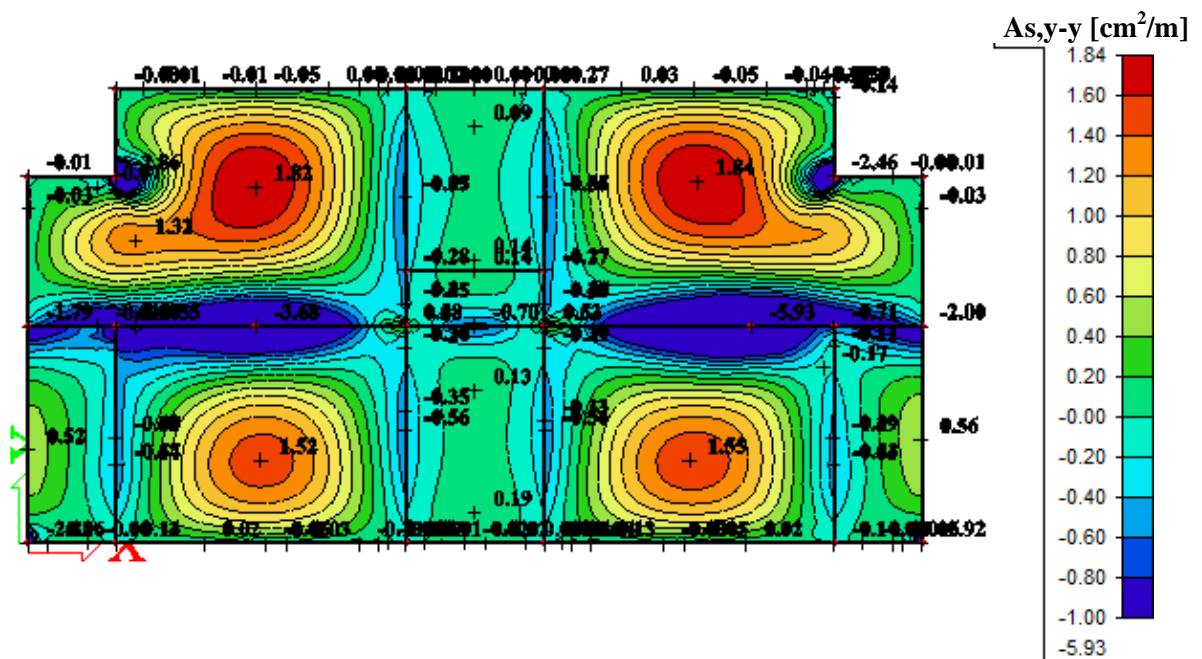
Slika 8.8 Poprečne sile  $V_{Ed,y}$  (kN/m) za GSN-1



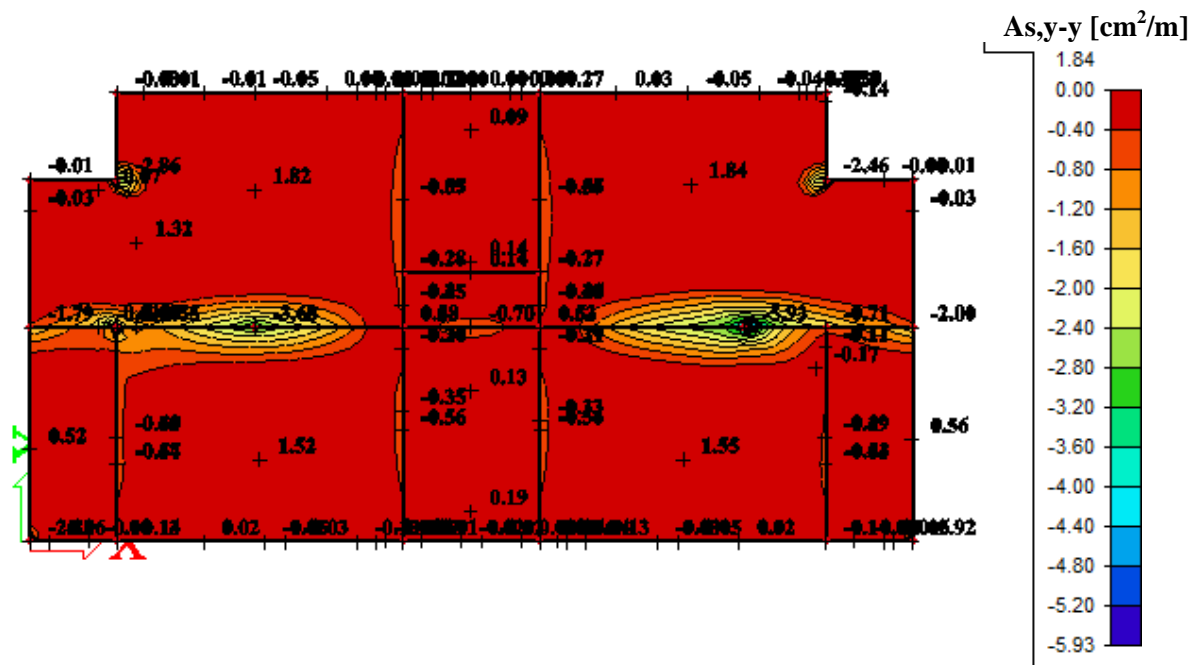
Slika 8.9 Armatura u ploči smjer  $A_{s,x-x}$  (polje) ( $\text{cm}^2/\text{m}$ ) za GSN-1



Slika 8.10 Armatura u ploči smjer  $A_{s,x-x}$  (ležaj) ( $\text{cm}^2/\text{m}$ ) za GSN-1



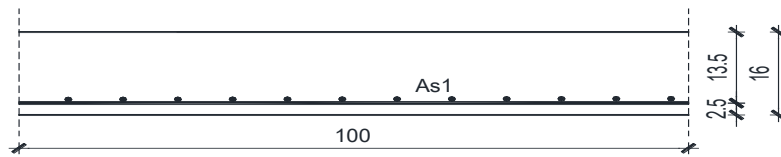
Slika 8.11 Armatura u ploči smjer  $A_{s,y-y}$  (polje) ( $\text{cm}^2/\text{m}$ ) za GSN-1



Slika 8.12 Armatura u ploči smjer  $A_{s,y-y}$  (ležaj) ( $\text{cm}^2/\text{m}$ ) za GSN-1



### 8.1.1 Dimenzioniranje ploče na moment savijanja



Slika 8.13 Poprečni presjek ploče

$h=16$  cm

zaštitni sloj:  $a=2.0$  cm;  $d=13.5$  cm

Beton: C 25/30  
 $f_{ck}=25.0$  MPa  
 $E_{cm}=30.0$  GPa

Armatura: B 500B  
 $f_y=500$  MPa

Napomena: Dobivenu armaturu zbog preraspodjele umanjiti nad ležajem za 15 % i povećati u polju 25%.

Armatura u polju  $1.84 \text{ cm}^2 * 1.25 = 2.30 \text{ cm}^2$

Armatura na ležaju  $2.69 \text{ cm}^2 * 0.85 = 2.28 \text{ cm}^2$

#### ODABRANA ARMATURA

Polje Q-257 ( $2.57 \text{ cm}^2/\text{m}$ )

Ležaj1 Q-257 ( $2.57 \text{ cm}^2/\text{m}$ ) / vidjeti u grafičkom prilogu

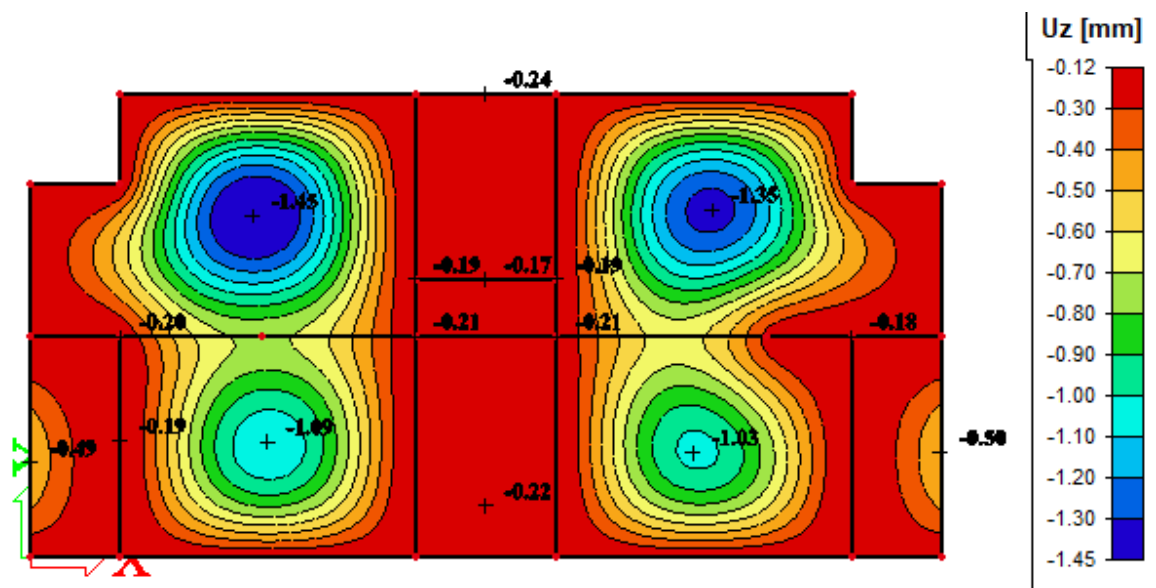
Ležaj2 Q-335 ( $3.35 \text{ cm}^2/\text{m}$ ) / vidjeti u grafičkom prilogu

Na mjestima gdje je potrebna veća armatura postavljaju se šipke  $\Phi 10$  u jednom ili oba smjera na razmaku od 20 cm.

Armaturni plan krovne ploče za donju i gornju zonu priloženi su u grafičkim priložima.

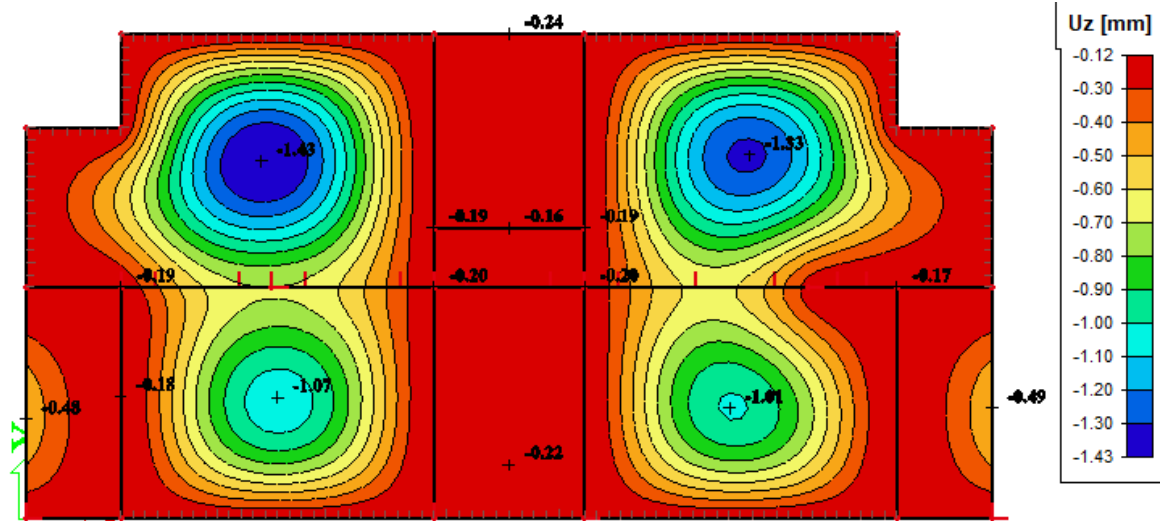
## 8.2 Kontrola progiba i pukotina krovne ploče

### 8.2.1 Kontrola progiba



Slika 8.14 Progib ploče (mm) za kombinaciju GSU-1

Najveći progib iznosa je 1,45 mm  
Dozvoljen progib  $L/1000 = 460/1000 = 4,6$  mm  
Krovna ploča zadovoljava na progibe.

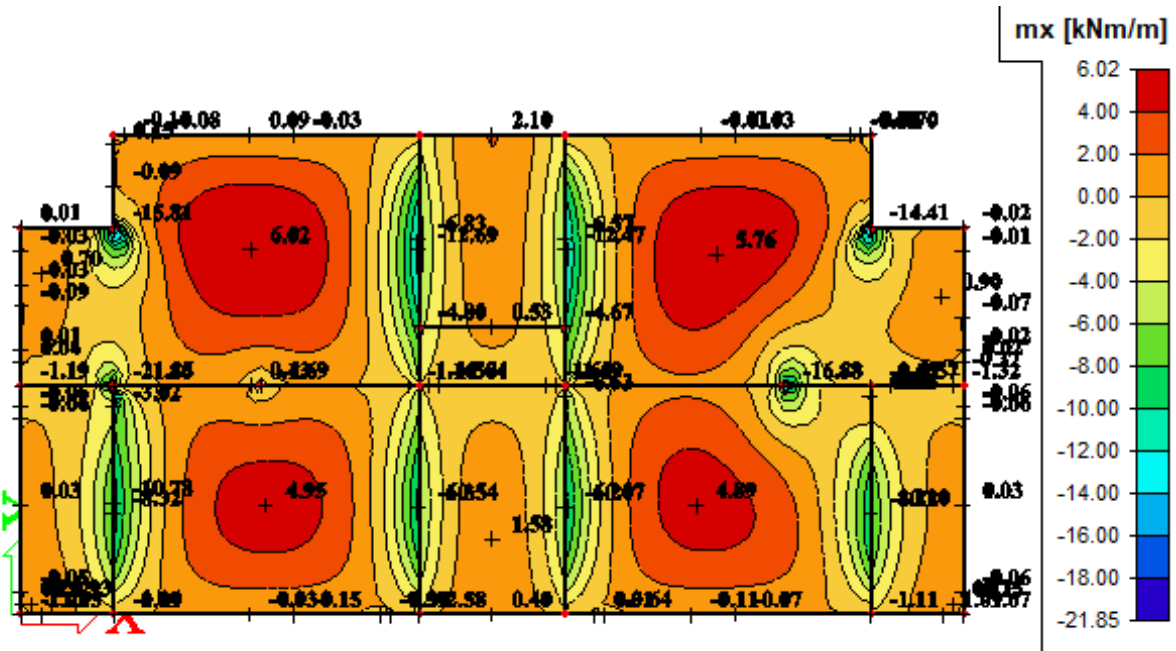


Slika 8.15 Progib ploče (mm) za kombinaciju GSU-2

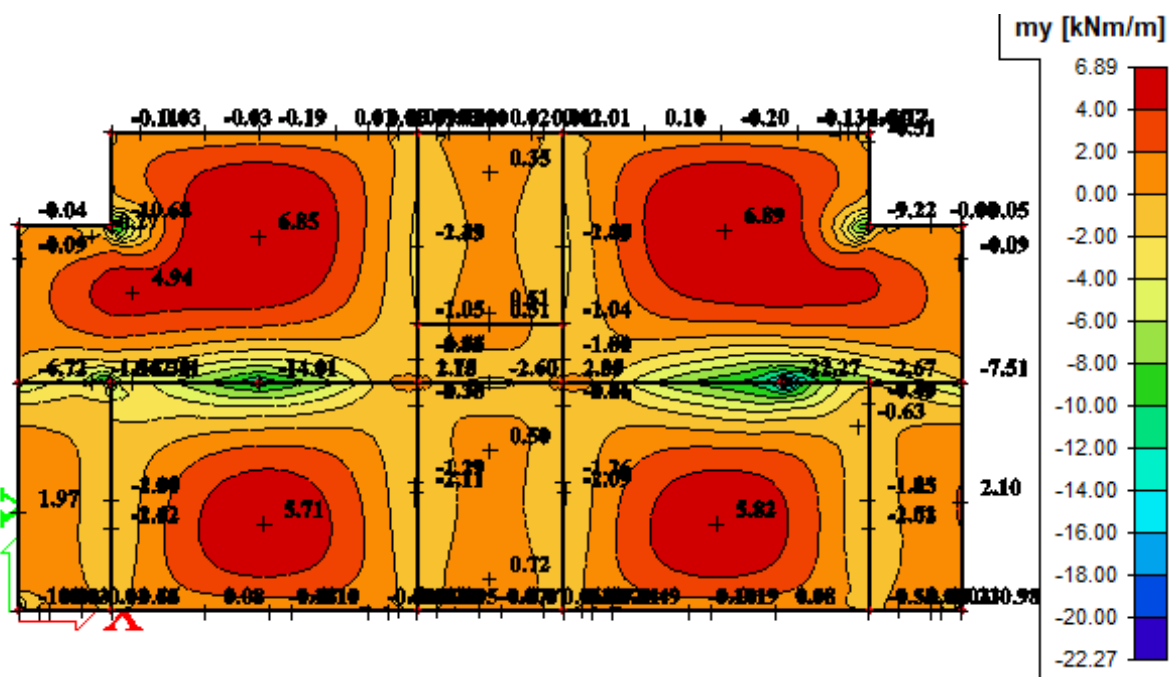
Najveći progib iznosa je 1,43 mm  
Dozvoljen progib  $L/1250 = 460/1250 = 3,68$  mm  
Krovna ploča zadovoljava na progibe.

## 8.2.2 Kontrola pukotina

U priložena dva dijagrama odabire se najveći moment savijanja koji će biti mjerodavan kod izračuna širine pukotina.



Slika 8.16 Moment savijanja  $M_{Ed,x}$  (kNm/m) za GSU-1



Slika 8.17 Moment savijanja  $M_{Ed,y}$  (kNm/m) za GSU-1

Mjerodavni moment  $M=6,89 \text{ kNm/m}$

Prognozna širina pukotine:

$$w_k = s_{r,\max} \cdot (\varepsilon_{sm} - \varepsilon_{cm})$$

Vrijednost  $\varepsilon_{sm} - \varepsilon_{cm}$  određuje se prema izrazu:

$$\varepsilon_{sm} - \varepsilon_{cm} = \frac{\sigma_s - k_t \frac{f_{ct,eff}}{\rho_{p,eff}} (1 + \alpha_e \cdot \rho_{p,eff})}{E_s} \geq 0.6 \cdot \frac{\sigma_s}{E_s}$$

$$x = \frac{\alpha_{el} \cdot A_{s1}}{b} \cdot \left( -1 + \sqrt{1 + \frac{2 \cdot b \cdot d}{\alpha_{el} \cdot A_{s1}}} \right) = \frac{7.0 \cdot 2.57}{100} \cdot \left( -1 + \sqrt{1 + \frac{2 \cdot 100 \cdot 13.5}{7.0 \cdot 2.57}} \right) = 2.03 \text{ cm}$$

$$\sigma_s = \frac{M_{Ed}}{z \cdot A_s} \approx \frac{M_{Ed}}{\left( d - \frac{x}{3} \right) \cdot A_s} = \frac{689}{\left( 13.5 - \frac{2.03}{3} \right) \cdot 2.57} = 20.90 \frac{\text{kN}}{\text{cm}^2} = 209.0 \text{ MPa}$$

$$\text{Za C 25/30} \Rightarrow f_{ct,eff} = 2.6 \text{ MPa}$$

$$A_{s1} = Q-257 = 2.57 \text{ cm}^2$$

$$E_{cm} = 30.0 \text{ GPa} = 30000.0 \text{ MPa} - \text{modul elastičnosti betona}$$

$$E_s = 210.0 \text{ GPa} = 210000.0 \text{ MPa} - \text{modul elastičnosti armature}$$

$$k_t = 0.4 - \text{Dugotrajno opterećenje}$$

$$\alpha_e = \frac{E_s}{E_{cm}} = \frac{210}{30} = 7.0 - \text{Odnos modula elastičnosti}$$

Djelotvorni koeficijent armiranja glavnom vlačnom armaturom:

$$\rho_{p,eff} = \frac{A_s}{A_{c,eff}} = \frac{2.57}{100 \cdot (2.5 \cdot 2.5)} = 0.0041$$

$$\varepsilon_{sm} - \varepsilon_{cm} = \frac{209.0 - 0.4 \frac{2.6}{0.0041} (1 + 7.0 \cdot 0.0041)}{21000000} \geq 0.6 \cdot \frac{209.0}{21000000} - 0.000247 \geq 0.000597$$

$$\varepsilon_{sm} - \varepsilon_{cm} = 0.000597$$

Srednji razmak pukotina:

$$s_{r,\max} = k_3 \cdot c + k_1 \cdot k_2 \cdot k_4 \cdot \frac{\phi}{\rho_{p,eff}} \quad [\text{mm}]$$

$$\phi = 7.0 \text{ mm} -$$

$$c = 20 \text{ mm} - \text{Zaštitni sloj uzdužne armature}$$

$k_1 = 0.8$  - Rebrasta armatura

$k_2 = 0.5$  - Savijanje

$k_3 = 3.4$

$k_4 = 0.425$

$$s_{r,\max} = 3.4 \cdot 20 + 0.8 \cdot 0.5 \cdot 0.425 \cdot \frac{7}{0.0041} = 358,24 \text{ mm}$$

Karakteristična širina pukotine:

$$w_k = s_{r,\max} \cdot (\varepsilon_{sm} - \varepsilon_{cm}) = 358.24 \cdot 0.000597 = 0.21 \text{ mm} < w_g = 0.3 \text{ mm}$$

**- Pukotine zadovoljavaju!**

## 9. PRORAČUN AB GREDA

Limitirajući moment:

$$M_{Rd,lim} = \mu_{sd,lim} \cdot b_w \cdot d^2 \cdot f_{cd} = 0.159 \cdot 0.2 \cdot 0.47^2 \cdot 16.66 \cdot 1000 = 117.03 \text{ kNm}$$

Minimalna i maksimalna armatura za grede:

$$A_{s,min}^{poje} = 0.0015 \cdot b_w \cdot d = 0.0015 \cdot 20 \cdot 47 = 1.41 \text{ cm}^2$$

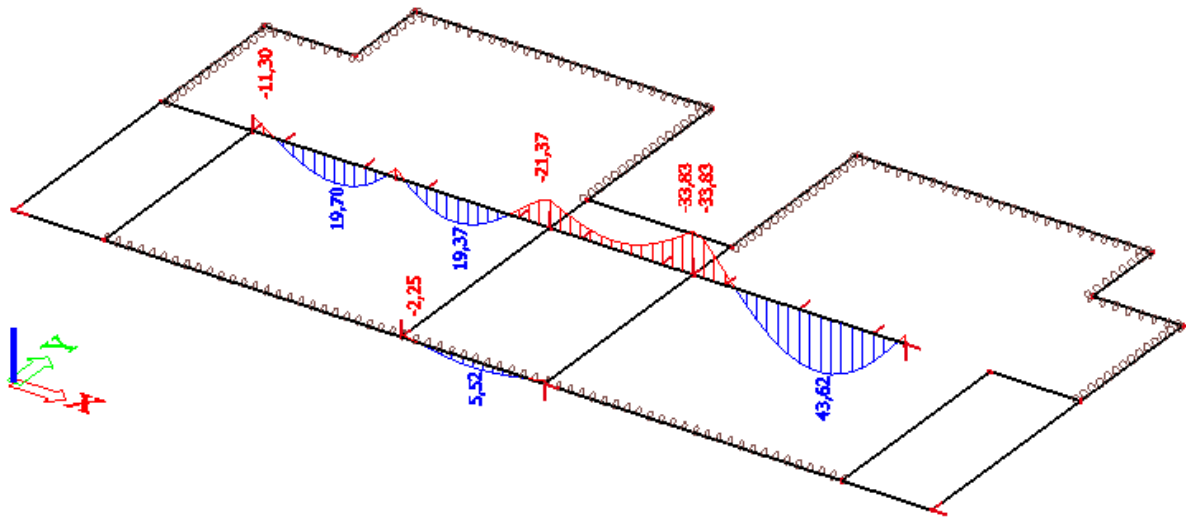
$$A_{s,min}^{ležaj} = 0.0015 \cdot b_{eff} \cdot d = 0.0015 \cdot 88 \cdot 47 = 6.02 \text{ cm}^2$$

$$A_{s,max}^{polje} = 0.31 \cdot b_w \cdot d \cdot \frac{f_{cd}}{f_{yd}} = 0.31 \cdot 20 \cdot 47 \cdot \frac{16.66}{434.8} = 11.16 \text{ cm}^2$$

$$A_{s,max}^{ležaj} = 0.85 \cdot b_{eff} \cdot h_f \cdot \frac{f_{cd}}{f_{yd}} = 0.85 \cdot 88 \cdot 50 \cdot \frac{16.66}{434.8} = 143.3 \text{ cm}^2$$

### 9.1 Međukatna greda

#### 9.1.1 Prikaz rezultata proračuna



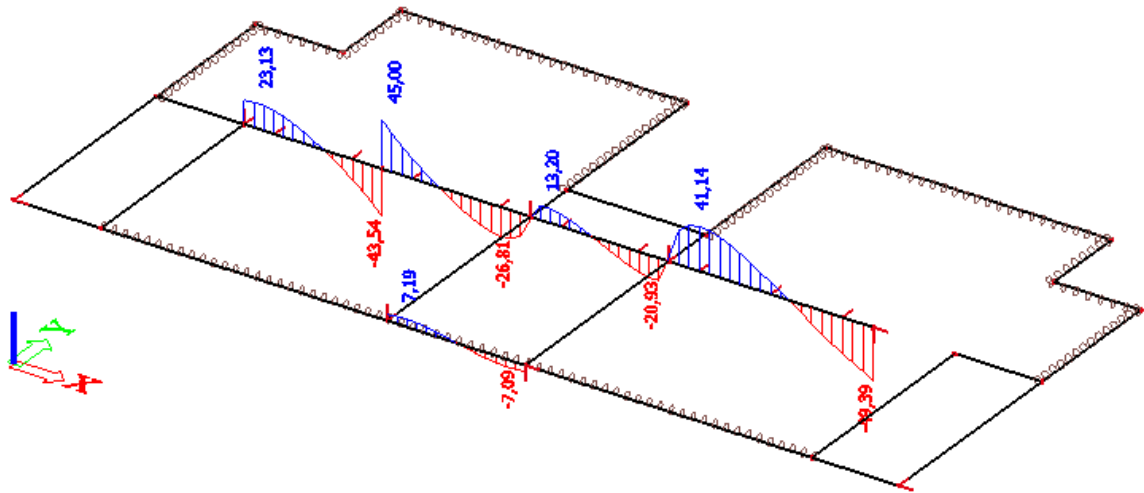
Slika 9.1 Moment savijanja  $M_{Ed,y}$  (kNm) za GSN-1

Napomena: Preraspodjela momenta savijanja u gredama, moment u polju povećati za 30 % , a moment nad ležajem smanjiti za 15 % .

$$M_{max,polje1} = 19,70 \cdot 1.30 = 25.61 \text{ kNm}$$

$$M_{max,polje2} = 43,62 \cdot 1.30 = 56.70 \text{ kNm}$$

$$M_{max,ležaj} = 33,83 \cdot 0.85 = 28.76 \text{ kN}$$

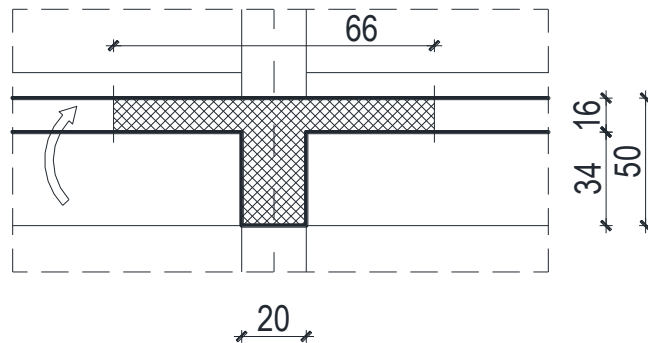


Slika 9.2 Poprečne sile  $V_{Ed,z}$  (kN) za GSN-1

### 9.1.2 Dimenzioniranje na moment savijanja

Polje 1

Utjecajna širina:  $b_{eff} = b_0 + \frac{l_0}{5} \Rightarrow b_{eff} = 20 + \frac{0.85 \cdot 270}{5} = 65.9 \text{ cm}$



Slika 9.3 Poprečni presjek grede (polje1)

$$M_{Ed} = 25.61 \text{ kNm}$$

$$\mu_{sd} = \frac{M_{Ed}}{b_{eff} \cdot d^2 \cdot f_{cd}} = \frac{2561}{65.9 \cdot 47^2 \cdot 1.67} = 0.011$$

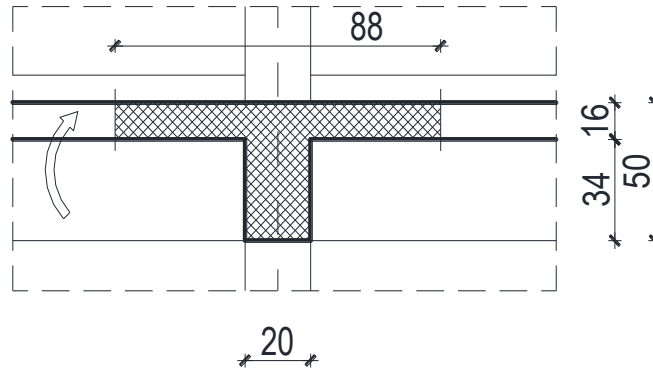
$$\text{Očitano: } \varepsilon_{s1} = 10.0\% \quad \varepsilon_{c2} = 0.6\% \quad \xi = 0.057 \quad \zeta = 0.981$$

$$A_{s1} = \frac{M_{Ed}}{\zeta \cdot d \cdot f_{yd}} = \frac{2561}{0.981 \cdot 47 \cdot 43.5} = 1.27 \text{ cm}^2$$

Odabrano 2Ø12 ( $A_s = 2.26 \text{ cm}^2$ )

## Polje 2

Utjecajna širina:  $b_{eff} = b_0 + \frac{l_0}{5} \Rightarrow b_{eff} = 20 + \frac{0.85 \cdot 400}{5} = 88 \text{ cm}$



Slika 9.4 Poprečni presjek grede (polje2)

$$M_{Ed} = 56.70 \text{ kNm}$$

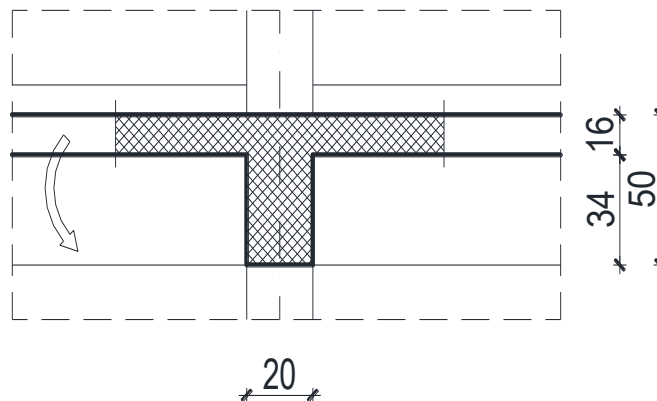
$$\mu_{sd} = \frac{M_{Ed}}{b_{fw} \cdot d^2 \cdot f_{cd}} = \frac{5670}{88 \cdot 47^2 \cdot 1.67} = 0.017$$

Očitano:  $\varepsilon_{s1} = 10.0 \text{ ‰}$   $\varepsilon_{c2} = 0.7 \text{ ‰}$   $\xi = 0.065$   $\zeta = 0.977$

$$A_{s1} = \frac{M_{Ed}}{\zeta \cdot d \cdot f_{yd}} = \frac{5670}{0.977 \cdot 47 \cdot 43.5} = 2.84 \text{ cm}^2$$

Odabrano 3Ø12 ( $A_s = 3.39 \text{ cm}^2$ )

## Ležaj



Slika 9.5 Poprečni presjek grede (ležaj)



$$M_{Ed} = 28.76 \text{ kNm}$$

$$\mu_{sd} = \frac{M_{Ed}}{b_{fw} \cdot d^2 \cdot f_{cd}} = \frac{2876}{20 \cdot 47^2 \cdot 1.67} = 0.039$$

$$\text{Očitano: } \varepsilon_{s1} = 10.0 \text{ ‰} \quad \varepsilon_{c2} = 1.2 \text{ ‰} \quad \xi = 0.107 \quad \zeta = 0.962$$

$$A_{s1} = \frac{M_{Ed}}{\zeta \cdot d \cdot f_{yd}} = \frac{2876}{0.962 \cdot 47 \cdot 43.5} = 1.46 \text{ cm}^2$$

Odabrano 2Ø12 (As=2.26 cm<sup>2</sup>)

### 9.1.3 Dimenzioniranje na poprečnu silu

$$V_{Ed} = 49,39 \text{ kN}$$

$$V_{Rd,c} = \left[ C_{Rdc} \cdot k \cdot (100 \cdot \rho_l \cdot f_{ck})^{1/3} + k_1 \cdot \sigma_{cp} \right] \cdot b_w \cdot d$$

$$k = 1.0 + \sqrt{\frac{200}{d}} = 1.0 + \sqrt{\frac{200}{470}} = 1.65 \leq 2.0 \Rightarrow k = 1.65$$

$$k_1 = 0.15$$

$$\sigma_{cp} = N_{Ed} / A_c = 0.0$$

$$C_{Rdc} = 0.18 / \gamma_c = 0.18 / 1.5 = 0.12$$

$$\sum A_s = 2\phi 12 + 2\phi 12 = 2.26 + 2.26 = 4.52 \text{ cm}^2$$

$$\rho_l = \frac{\sum A_s}{A_c} = \frac{4.52}{20 \cdot 50} = 0.0045$$

$$V_{Rd,c} = \left[ 0.12 \cdot 1.65 \cdot (100 \cdot 0.0045 \cdot 25.0)^{1/3} + 0.15 \cdot 0.0 \right] \cdot 200 \cdot 470$$

$$V_{Rd,c} = 41060.69 \text{ N} = 41.06 \text{ kN}$$

V<sub>Rd,c</sub> mora biti veća od:

$$V_{Rd,c} \geq \left[ v_{\min} + k_1 \cdot \sigma_{cp} \right] \cdot b_w \cdot d$$

$$k_1 = 0.15$$

$$v_{\min} = 0.035 \cdot k^{3/2} \cdot f_{ck}^{1/2} = 0.035 \cdot 1.66^{3/2} \cdot 25.0^{1/2} = 0.374$$

$$\sigma_{cp} = N_{sd} / A_c = 0.0$$

$$V_{Rd,c} \geq 0.374 \cdot 200 \cdot 470$$

$$V_{Rd,c} \geq 35156 \text{ N} = 35.16 \text{ kN}$$

Uvjet je zadovoljen.

$$V_{Ed,max} = V_{Ed} = 49.39 \text{ kN}$$

$$V_{Rd,max} = 0.5 \cdot \nu \cdot b_w \cdot d \cdot f_{cd}$$

$$\nu = 0.6 \left[ 1.0 - \frac{f_{ck}}{250} \right] = 0.6 \left[ 1.0 - \frac{25}{250} \right] = 0.54$$

$$V_{Rd,max} = 0.5 \cdot 0.54 \cdot 200 \cdot 470 \cdot 16.67 = 423084.6 \text{ N} = 423.08 \text{ kN} > V_{Ed,max} = V_{Ed}$$

$$V_{Ed,max} / V_{Rd,max} = 49.39 / 423.08 \approx 0.12 \Rightarrow V_{Ed} = 0.12 V_{Rd,max}$$

$$s_{max} = \min \{ 0.75 \cdot d; 30.0 \text{ cm} \} =$$

$$\min \{ 0.75 \cdot 46 = 34.5; 30.0 \} \Rightarrow s_{max} = 30.0 \text{ cm}$$

$$\rho_{min} = 0.00090$$

Potrebna računaska poprečna armatura!

$$A_{sw,min} = \frac{\rho_{min} \cdot s_w \cdot b_w}{m} = \frac{0.0009 \cdot 30 \cdot 20}{2} = 0.27 \text{ cm}^2$$

Odabrane minimalne spone: **Ø8/30** ( $A_{sw}=0.50 \text{ cm}^2$ )

$$f_{ywd} = \frac{f_{yk}}{\gamma_s}; \quad B 500B \Rightarrow f_{ywd} = \frac{500}{1.15} = 434.8 \text{ MPa} = 43.48 \text{ kN/cm}^2$$

$$V_{Rd} = V_{Rd,s} = \frac{A_{sw}}{s} \cdot z \cdot f_{ywd} \cdot m \cdot ctg \theta$$

$$V_{Rd,s} = \frac{0.50}{30} \cdot (0.9 \cdot 47) \cdot 43.48 \cdot 2 = 61.31 \text{ kN}$$

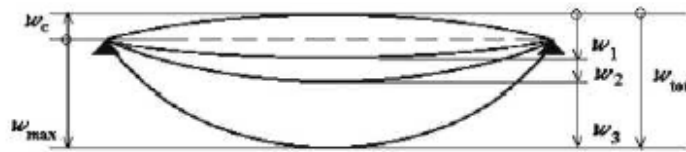
$$V_{Rd} > V_{Ed}$$

Postaviti spone **Ø8/20** ( $A_{sw}=0.50 \text{ cm}^2$ )

Na mjestima spoja grede sa stupom i na mjestima spoja greda za zidovima progušćuju se spone, pa uzimamo razmak između spona 15 cm.

Armaturni plan grede priložen je u grafičkim priložima.

### 9.1.4 Kontrola progiba



Slika 9.6 Prikaz progiba grede

$w_c$  -nadvišenje neopterećenog konstruktivnog elementa

$w_1$  - početni progib od stalnog opterećenja

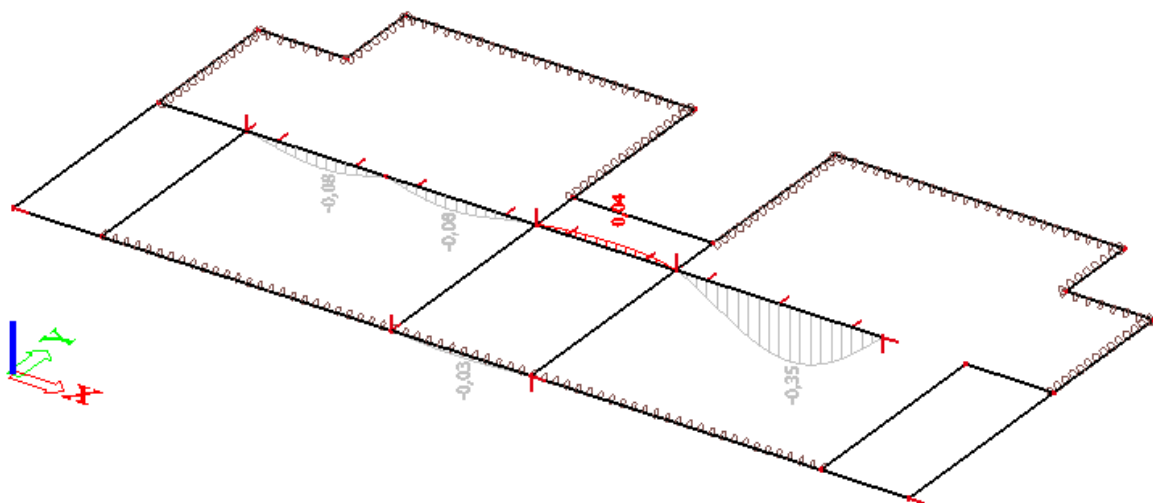
$w_2$  - dugotrajni progib od stalnog opterećenja

$w_3$  - progib od promjenjivog opterećenja

$w_{max}$  – ukupni progib

Konstrukcija	$w_{max}$	$w_2+w_3$
krovišta	$L/200$	$L/250$
Prohodna krovišta	$L/250$	$L/300$
stropovi	$L/250$	$L/300$
stropovi/krovovi sa žbukom ili drugim krhkim završnim slojevima ili nesavitljivim pregradama	$L/300$	$L/350$
stropovi koje podupiru stupovi (osim ako je progib uzet u obzir u sklopu proračuna za granično stanje nosivosti)	$L/400$	$L/500$
kada $w_{max}$ može narušiti izgled zgrade	$L/250$	–

Tablica 9.1 Ograničenje vertikalnih progiba za karakterističnu kombinaciju



Slika 9.7 Progib grede (mm) za kombinaciju GSU-1

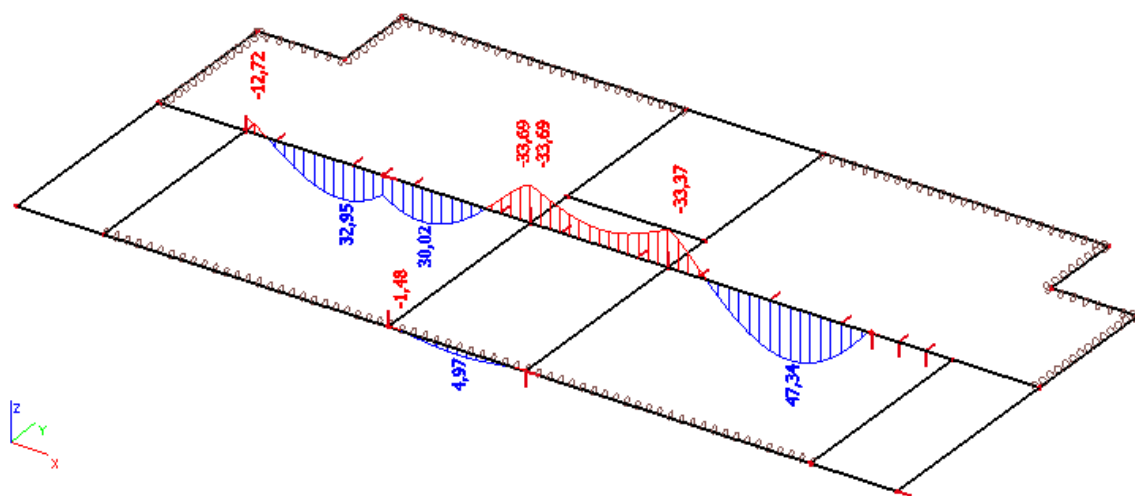
Najveći progib iznosa je 0,35 mm

Dozvoljen progib  $L/250 = 400/250 = 1,6$  cm

Međukatna greda zadovoljava na progibe.

## 9.2 Krovna greda

### 9.2.1 Prikaz rezultata proračuna



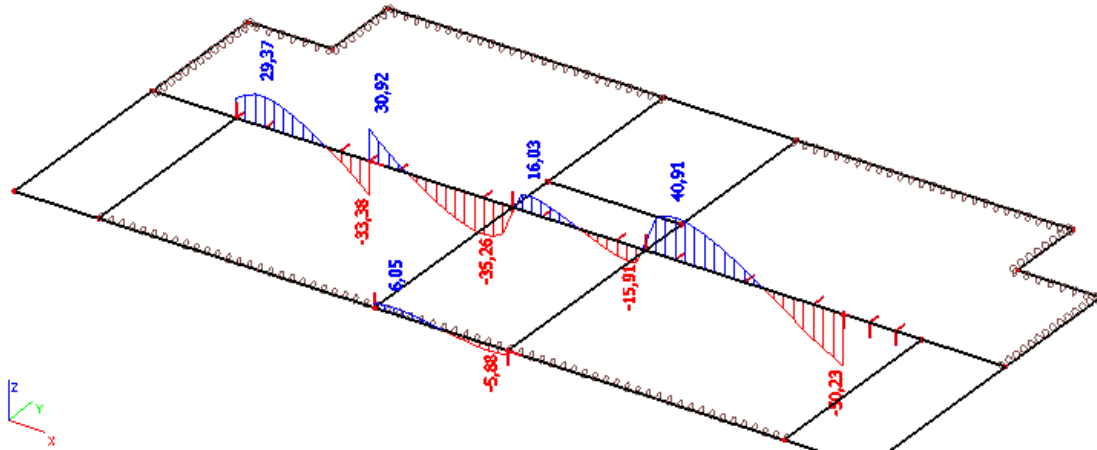
Slika 9.8 Moment savijanja  $M_{Ed,y}$  (kNm) za GSN-1

Napomena: Preraspodjela momenta savijanja u gredama, moment u polju povećati za 30 % , a moment nad ležajem smanjiti za 15 %.

$$M_{\max, \text{polje1}} = 32,95 * 1,30 = 42,84 \text{ kNm}$$

$$M_{\max, \text{polje2}} = 47,34 * 1,30 = 61,54 \text{ kNm}$$

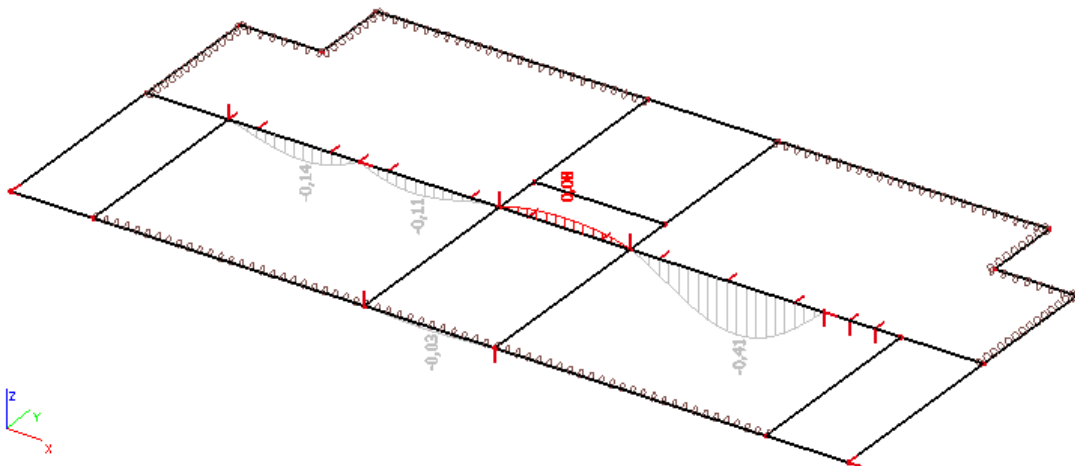
$$M_{\max, \text{ležaj}} = 33,69 * 0,85 = 28,63 \text{ kN}$$



Slika 9.9 Poprečne sile  $V_{Ed,z}$  (kN) za GSN-1

Nema velikih promjena u momentnom dijagramu ni u dijagramu poprečnih sila pa se krovna greda armira isto kao i međukatne grede.

### 9.2.2 Kontrola progiba



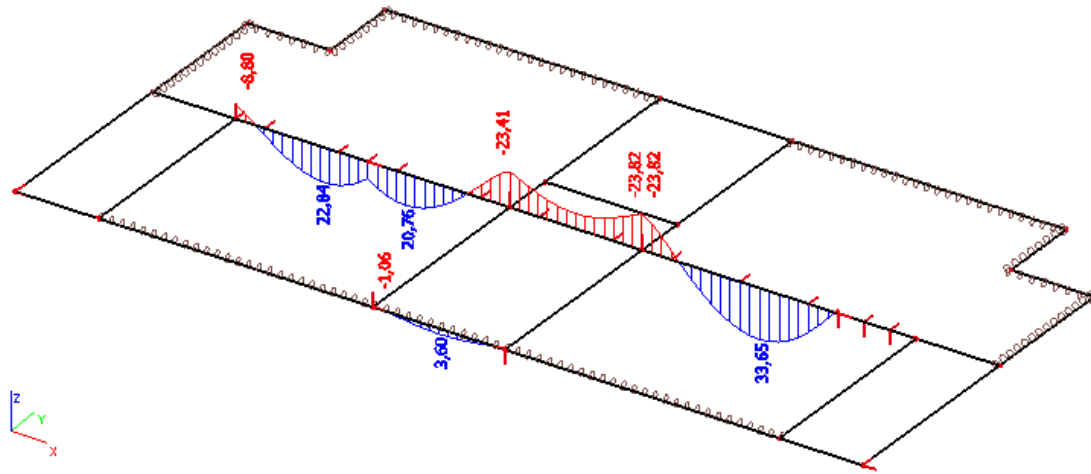
Slika 9.10 Progib grede (mm) za kombinaciju GSU-1

Najveći progib iznosa je 0,41 mm

Dozvoljen progib  $L/250 = 400/250 = 1,6$  cm

Krovna greda zadovoljava na progibe.

### 9.2.3 Kontrola pukotina



Slika 9.11 Moment savijanja  $M_{Ed,y}$  (kNm) za GSU-1

$M_{max} = 33,65 \text{ kN}$

Prognozna širina pukotine:

$$w_k = s_{r,max} \cdot (\varepsilon_{sm} - \varepsilon_{cm})$$

Vrijednost  $\varepsilon_{sm} - \varepsilon_{cm}$  određuje se prema izrazu:

$$\varepsilon_{sm} - \varepsilon_{cm} = \frac{\sigma_s - k_t \frac{f_{ct,eff}}{\rho_{p,eff}} (1 + \alpha_e \cdot \rho_{p,eff})}{E_s} \geq 0.6 \cdot \frac{\sigma_s}{E_s}$$

$$x = \frac{\alpha_{el} \cdot A_{s1}}{b} \cdot \left( -1 + \sqrt{1 + \frac{2 \cdot b \cdot d}{\alpha_{el} \cdot A_{s1}}} \right) = \frac{7.0 \cdot 3.39}{20} \cdot \left( -1 + \sqrt{1 + \frac{2 \cdot 20 \cdot 47}{7.0 \cdot 3.39}} \right) = 9.33 \text{ cm}$$

$$\sigma_s = \frac{M_{Ed}}{z \cdot A_s} \approx \frac{M_{Ed}}{\left( d - \frac{x}{3} \right) \cdot A_s} = \frac{3365}{\left( 47 - \frac{9.33}{3} \right) \cdot 3.39} = 23.14 \frac{\text{kN}}{\text{cm}^2} = 231.4 \text{ MPa}$$

Za C 25/30  $\Rightarrow f_{ct,eff} = 2.6 \text{ MPa}$

$$A_{s1} = 3\Phi 12 = 3.39 \text{ cm}^2$$

$E_{cm} = 30.0 \text{ GPa} = 30000.0 \text{ MPa}$  - modul elastičnosti betona

$E_s = 210.0 \text{ GPa} = 210000.0 \text{ MPa}$  - modul elastičnosti armature

$k_t = 0.4$  - Dugotrajno opterećenje

$$\alpha_e = \frac{E_s}{E_{cm}} = \frac{210}{30} = 7.0 - \text{Odnos modula elastičnosti}$$

Djelotvorni koeficijent armiranja glavnom vlačnom armaturom:

$$\rho_{p,eff} = \frac{A_s}{A_{c,eff}} = \frac{3.39}{20 \cdot (2.5 \cdot 4)} = 0.017$$

$$\varepsilon_{sm} - \varepsilon_{cm} = \frac{231.4 - 0.4 \cdot \frac{2.6}{0.017} (1 + 7.0 \cdot 0.017)}{21000000} \geq 0.6 \cdot \frac{231.4}{21000000}$$
$$0.000775 \geq 0.000661$$

$$\varepsilon_{sm} - \varepsilon_{cm} = 0.000775$$

Srednji razmak pukotina:

$$s_{r,max} = k_3 \cdot c + k_1 \cdot k_2 \cdot k_4 \cdot \frac{\phi}{\rho_{p,eff}} \quad [mm]$$

$$\phi = 12 \text{ mm}$$

$c = 25 \text{ mm}$  - Zaštitni sloj uzdužne armature

$k_1 = 0.8$  - Rebrasta armatura

$k_2 = 0.5$  - Savijanje

$$k_3 = 3.4$$

$$k_4 = 0.425$$

$$s_{r,max} = 3.4 \cdot 25 + 0.8 \cdot 0.5 \cdot 0.425 \cdot \frac{12}{0.017} = 205.0 \text{ mm}$$

Karakteristična širina pukotine:

$$w_k = s_{r,max} \cdot (\varepsilon_{sm} - \varepsilon_{cm}) = 205.0 \cdot 0.000775 = 0.16 \text{ mm} < w_g = 0.3 \text{ mm}$$

**- Pukotine zadovoljavaju!**

## 10. PRORAČUN STUPOVA

Za stupove koji ne preuzimaju sile potresa:

-Minimalne dimenzije presjeka stupova  $b_{\min}=20$  cm.

-Horizontalni razmak vertikalne armature stupova  $\leq 40$  cm.

-Min. i max. % armature za stupove:  $A_{s,\min}=0.003 \cdot b \cdot h$ ;  $A_{s,\max}=0.040 \cdot b \cdot h$

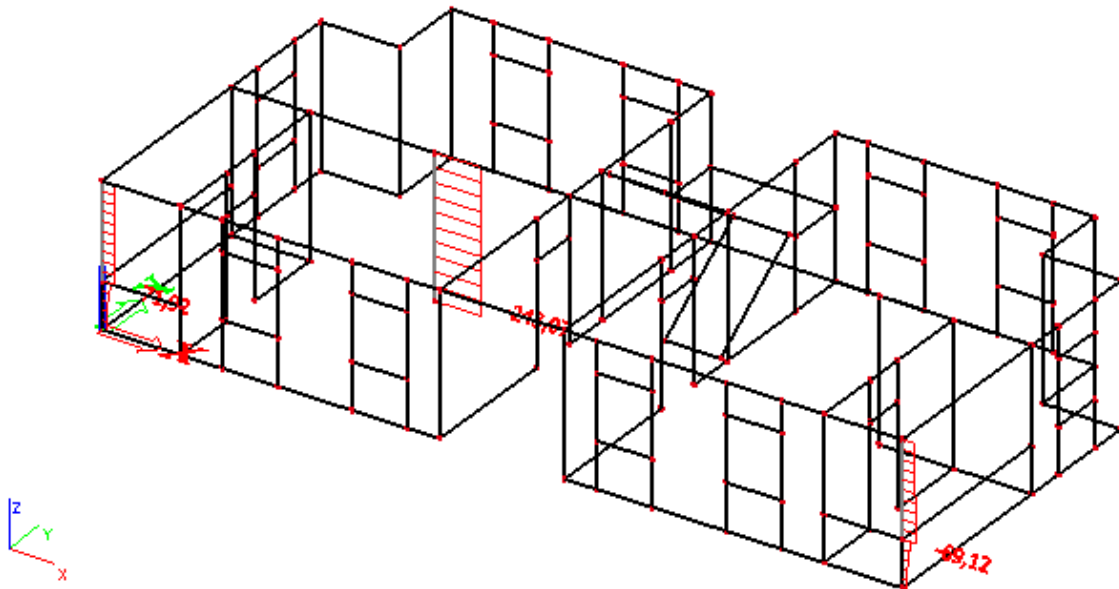
- $A_{s,\min}=4\phi 12$

Ograničenja naprezanja u betonu

Ograničenje srednjeg tlačnog naprezanja:

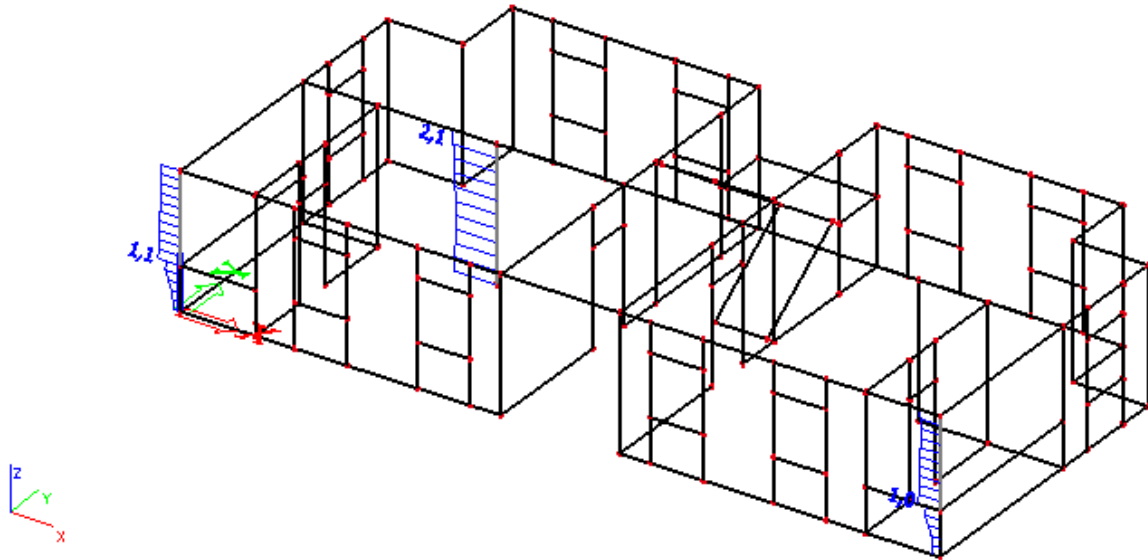
$\sigma_c \leq 0.45 f_{ck}$  za nazovistalnu kombinaciju  $GSU2=1.0G + \Psi_2 Q=1.0G + 0.3Q$

za C25/30,  $\sigma_c \leq 0.45 \cdot 25 = 11.25$  MPa



Slika 10.1 Uzdužne sile u stupovima  $N_{Ed}$  (kN) za GSU-2





Slika 10.2 Srednje tlačno naprezanje u stupovima  $\sigma_{c,Ed}$  (MPa) za GSU-2

Beton: C25/30;  $f_{ck}=25\text{MPa}$

Kontrolira se srednje tlačno naprezanje u stupu za nazovistalnu kombinaciju:

$$\text{GSU-2} = 1.0G + \Psi_{2i} \cdot Q_i = 1.0G + 0.3Q_1$$

$$\sigma_{c,ed} \leq 0.45 f_{ck}$$

$$\text{za C 25/30: } 0.45 f_{ck} = 0.45 \cdot 25 = 11.25 \text{ MPa}$$

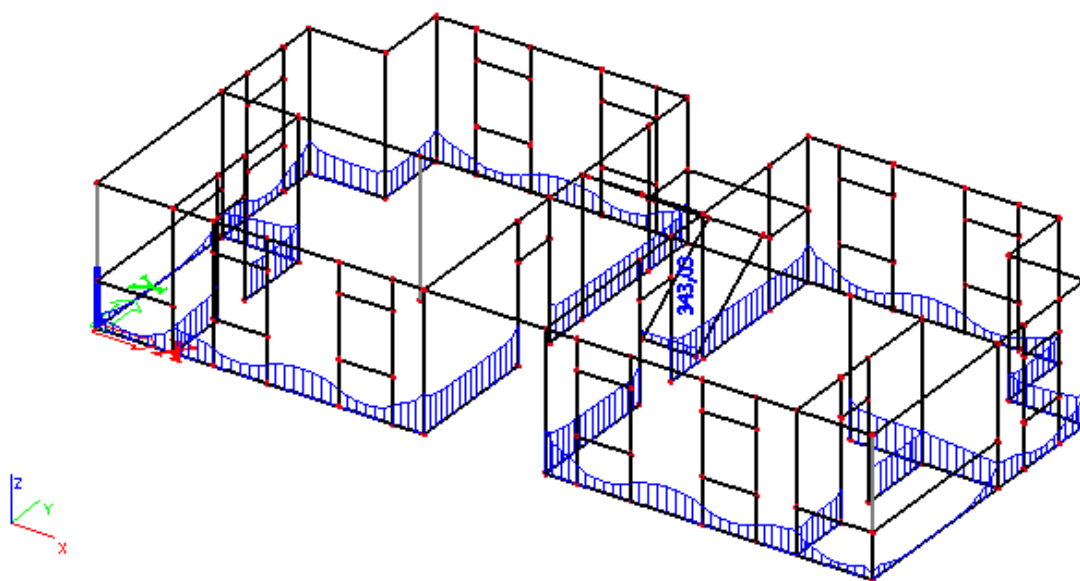
U niti jednom stupu (dimenzije prema planu pozicija) nije prekoračeno srednje tlačno naprezanje.

## 11. PRORAČUN TEMELJA

U nastavku su prikazani rezultati iz globalnog modela. Veza zidova sa podlogom je u numeričkom modelu modelirana kao upeta. Prikazane su linijske reakcije na mjestima oslanjanja zidova na temeljne trake.

Najmanje dimenzije poprečnog presjeka betonskih temeljnih greda:  $h_{w,\min} = 0.5 \text{ m}$

Najmanji omjer armiranja betonskih temeljnih greda:  $\rho_{b,\min} = 0.004$



*Slika 11.1 Linijske reakcije na mjestima oslanjanja zidova na temeljne trake [kN/m] za kombinaciju GSN-1*

Odabrana je maksimalna uprosječna linijska reakcija u iznosu od 343 kN/m.

Vrijednost dopuštenog kontaktnog naprezanja je 500 kN/m<sup>2</sup>.

Širina temeljne trake određena je na sljedeći način.

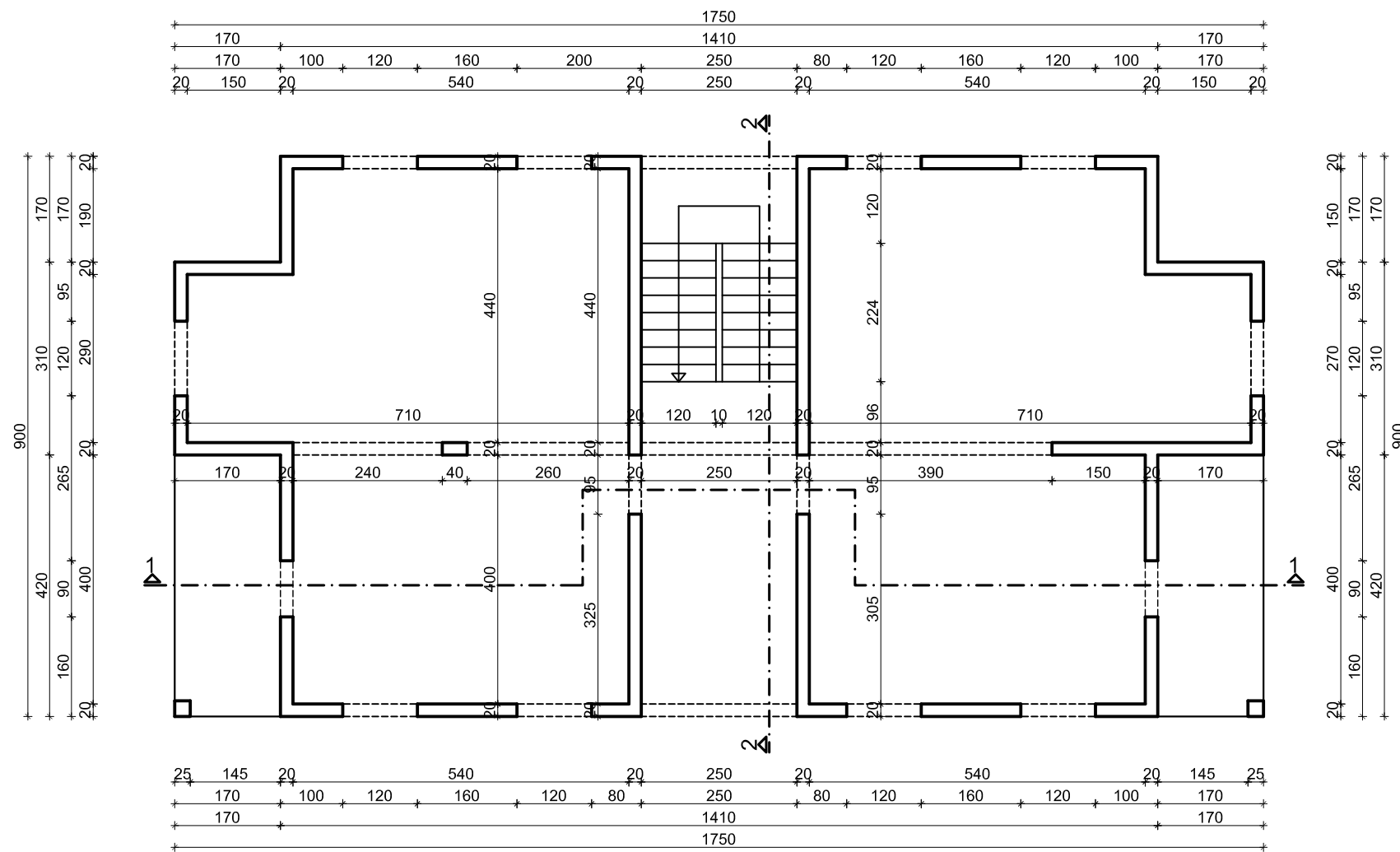
$$b \geq \frac{343}{500} = 0.686 \text{ m}$$


Usvoje na širina temeljne stope je 0.7 m ; b/h=70/50 cm.

## 12. GRAFIČKI PRILOZI

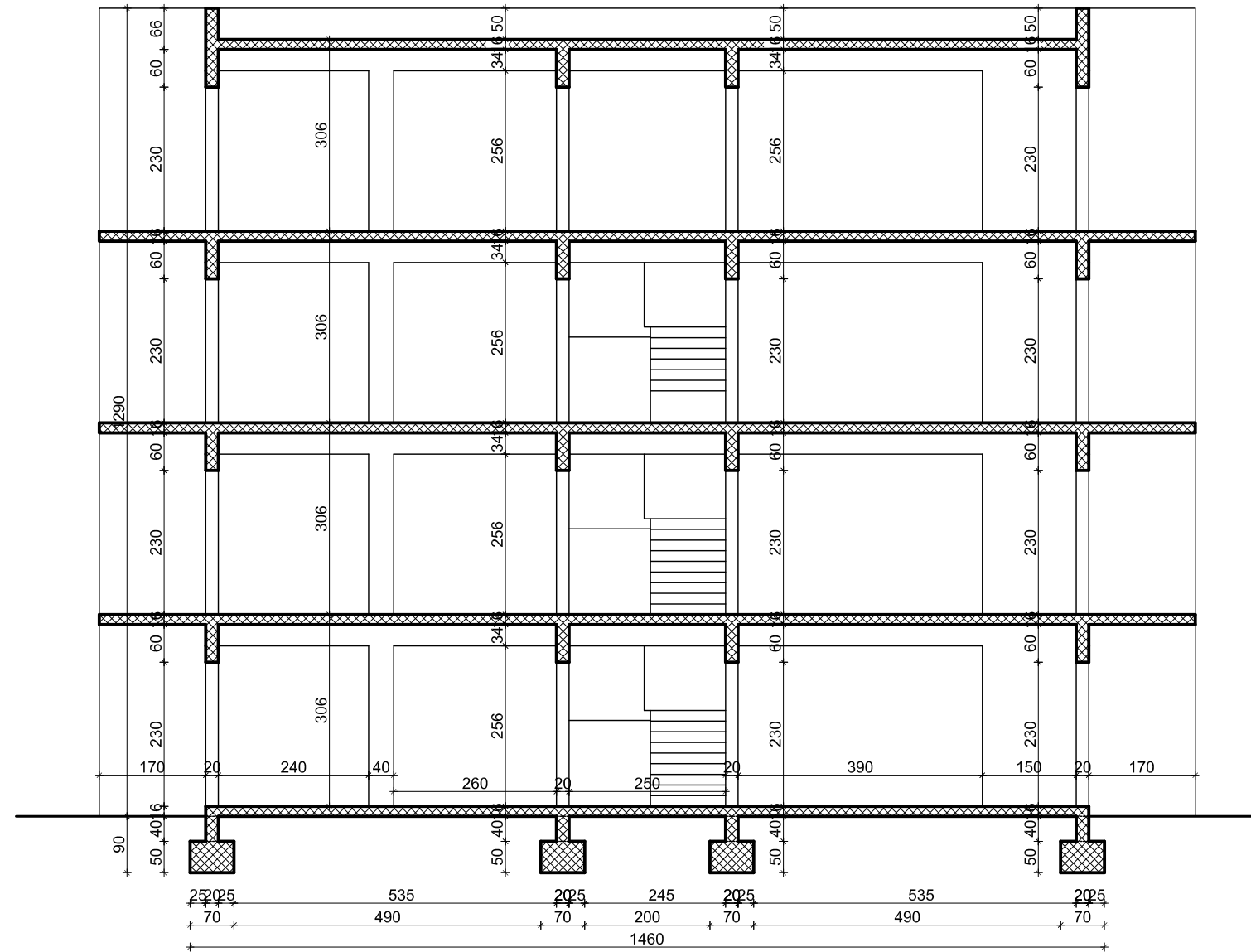
Redom su priloženi: - Tlocrt karakteristične etaže	M 1:100
- Presjek 1-1,2-2	M 1:100
- Armatura međukatne ploče-donja zona	M 1:100
- Armatura međukatne ploče-gornja zona	M 1:100
- Armatura krovne ploče-donja zona	M 1:100
- Armatura krovne ploče-gornja zona	M 1:100
- Armatura grede	M 1:100

# TLOCRT KARAKTERISTIČNE ETAŽE M 1:100

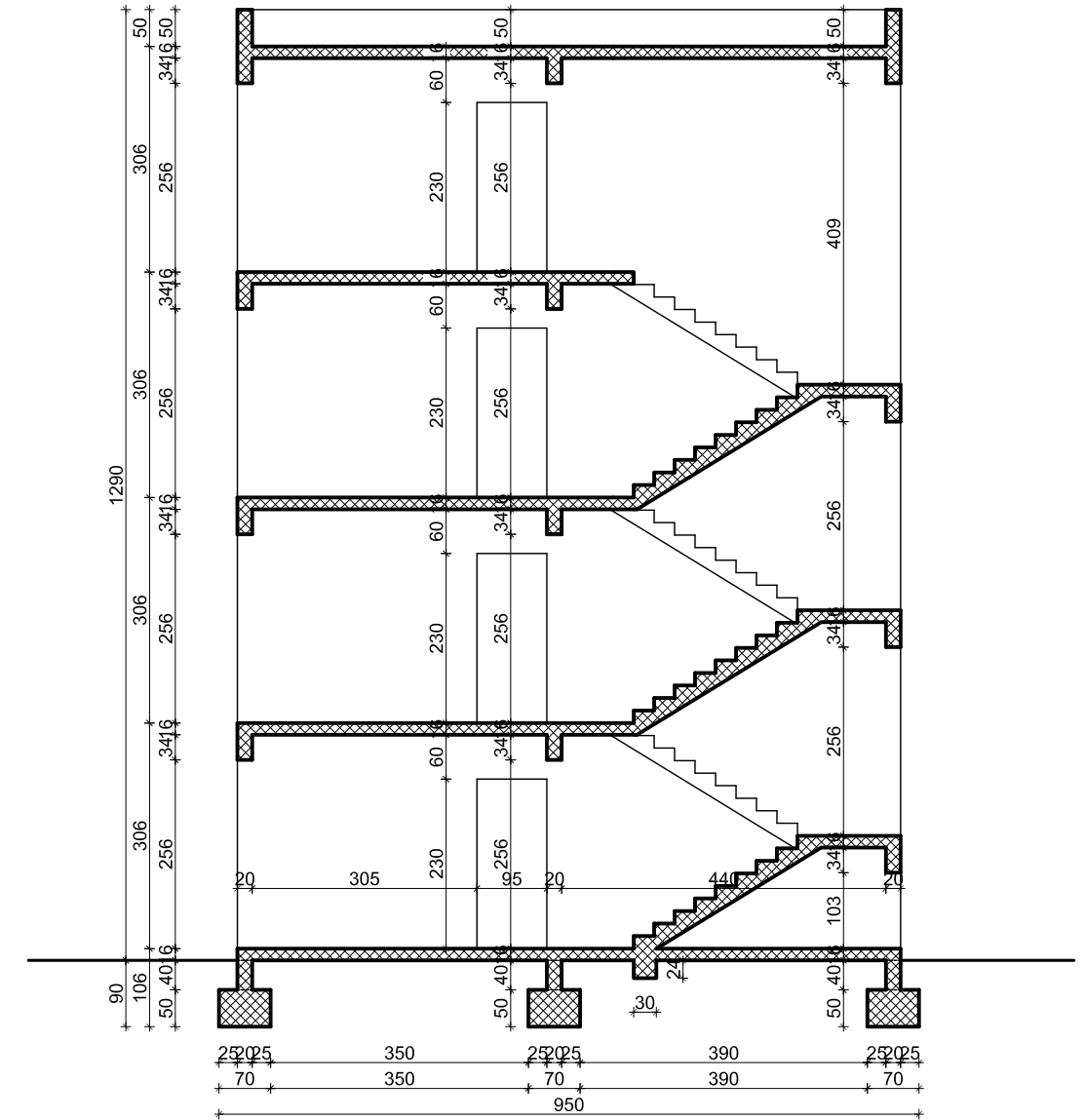


 SVEUČILIŠTE U SPLITU, FAKULTET GRAĐEVINARSTVA, ARHITEKTURE I GEODEZIJE	Završni rad	
	TEMA	STATIČKI PRORAČUN STAMBENE ZGRADE
	STUDENT	Duje Pavić
	SADRŽAJ	Tlocrt karakteristične etaže
DATUM	2018	MJERILO BROJ PRILOGA
		1:100 1

PRESJEK 1-1 M 1:100



PRESJEK 2-2 M 1:100

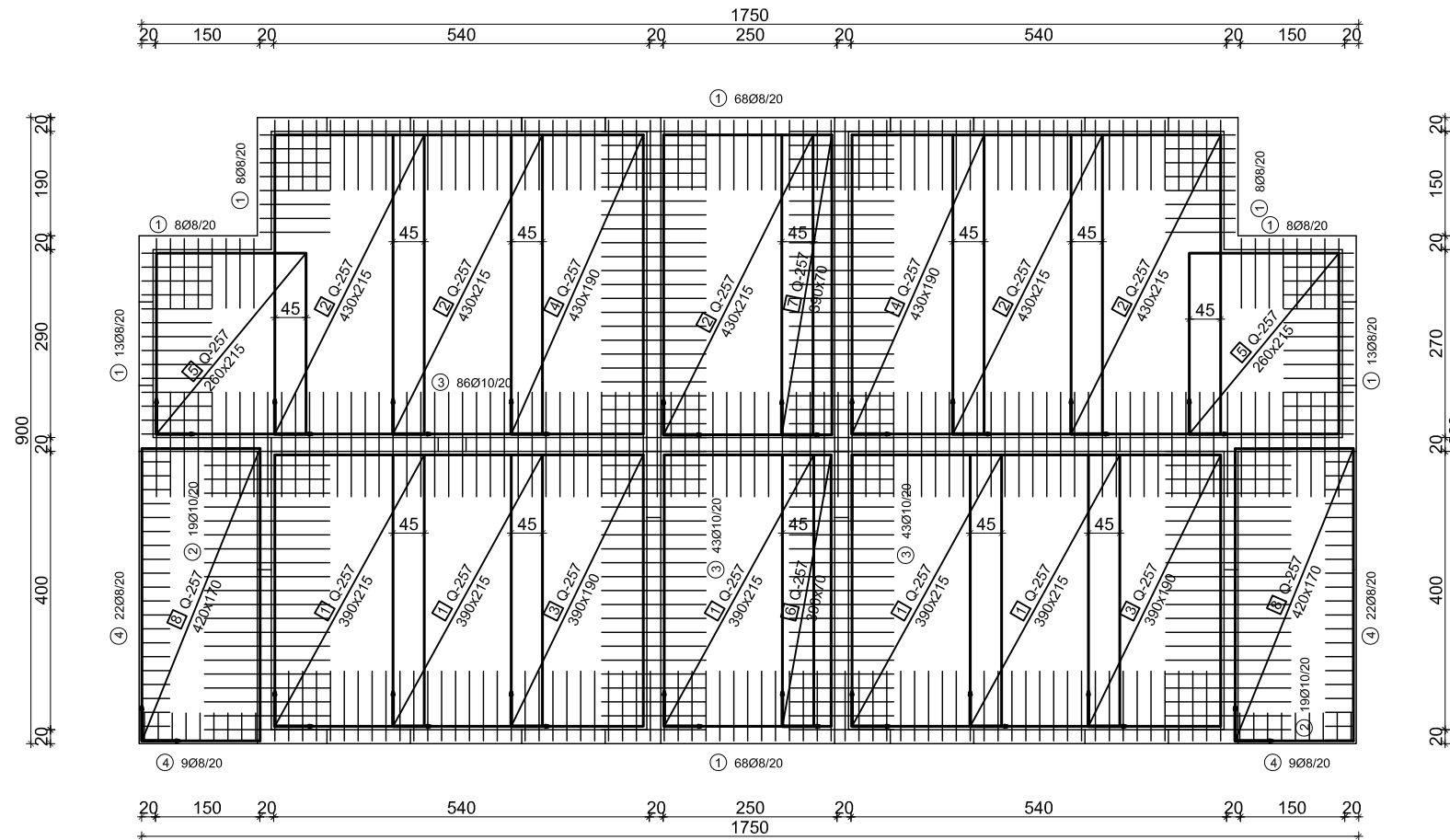


 SVEUČILIŠTE U SPLITU, FAKULTET GRAĐEVINARSTVA, ARHITEKTURE I GEODEZIJE	Završni rad	
	TEMA	STATIČKI PRORAČUN STAMBENE ZGRADE
	STUDENT	Duje Pavić
	SADRŽAJ	Presjek 1-1,2-2
DATUM	2018	MJERILO 1:100 BROJ PRILOGA 2





# ARMATURA KROVNE PLOČE-DONJA ZONA M 1:100



- Ø8; l=200
- 1 11 95  
94
- 2 Ø10; l=180
- 3 Ø10; l=150
- Ø8; l=90
- 4 11 40  
39

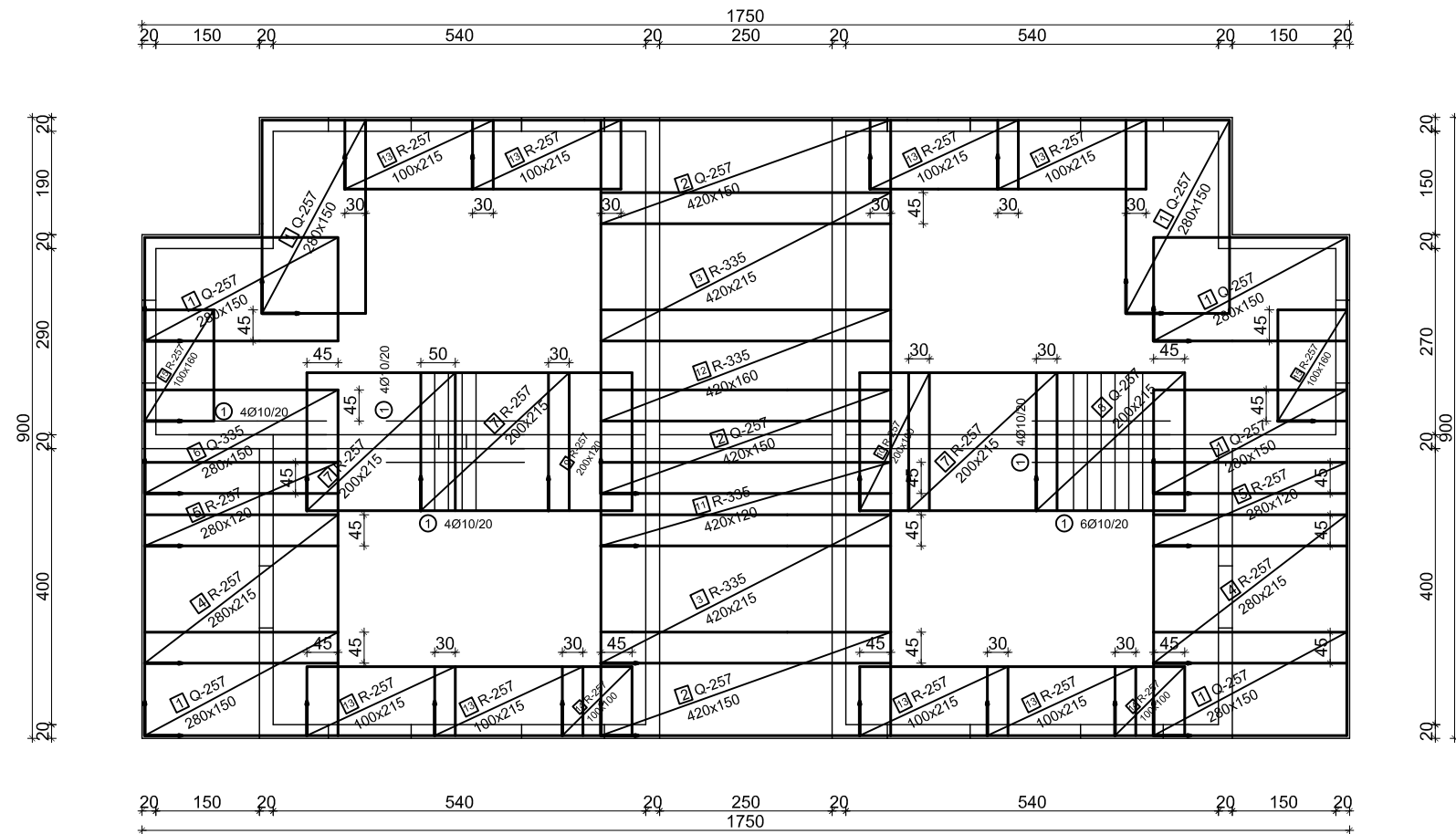


SVEUČILIŠTE U SPLITU,  
FAKULTET GRAĐEVINARSTVA,  
ARHITEKTURE I GEODEZIJE


Završni rad	
TEMA	STATIČKI PRORAČUN STAMBENE ZGRADE
STUDENT	Duje Pavić
SADRŽAJ	Armatura krovne ploče -donja zona
DATUM	2018
MJERILO	1:100
BROJ PRILOGA	5



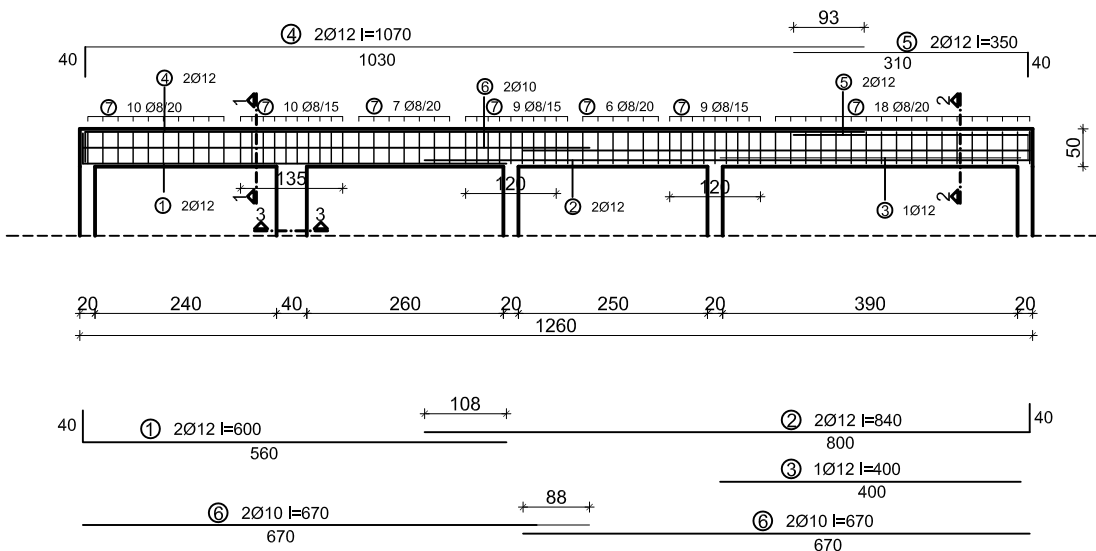
# ARMATURA KROVNE PLOČE-GORNJA ZONA M 1:100



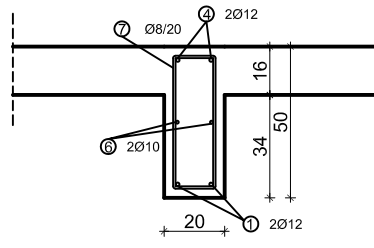
① ———— Ø10; l=200

 <p>SVEUČILIŠTE U SPLITU, FAKULTET GRAĐEVINARSTVA, ARHITEKTURE I GEODEZIJE</p>	Završni rad	
	TEMA	STATIČKI PRORAČUN STAMBENE ZGRADE
	STUDENT	Duje Pavić
	SADRŽAJ	Armatura krovne ploče -gornja zona
DATUM	2018	MJERILO 1:100 BROJ PRILOGA 6

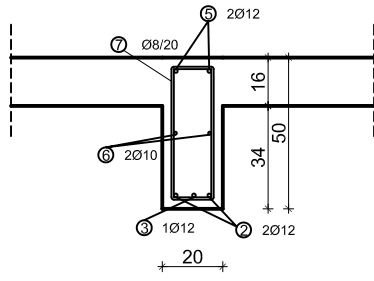
# ARMATURA GREDE M 1:100



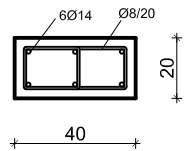
PRESJEK 1-1 M 1:25



PRESJEK 2-2 M 1:25



PRESJEK 3-3 M 1:25



SVEUČILIŠTE U SPLITU,  
FAKULTET GRAĐEVINARSTVA,  
ARHITEKTURE I GEODEZIJE

Završni rad

TEMA  
STATIČKI PRORAČUN STAMBENE ZGRADE

STUDENT  
Duje Pavić

SADRŽAJ  
Armatura grede

MJERILO  
1:100

BROJ PRILOGA  
7

DATUM  
2018

## 13. LITERATURA

-Ante Mihanović, Boris Trogrlić, **Građevna statika I**, Sveučilište u Splitu, Fakultet građevinarstva, arhitekture i geodezije, Split 2011.

- Ante Mihanović, Boris Trogrlić, Vlaho Akmadžić, **Građevna statika II**, Sveučilište u Splitu, Fakultet građevinarstva, arhitekture i geodezije, Split 2014.

-Ivan Tomičić, **Betonske konstrukcije**, Društvo hrvatskih građevinskih konstruktora, Zagreb 1996.